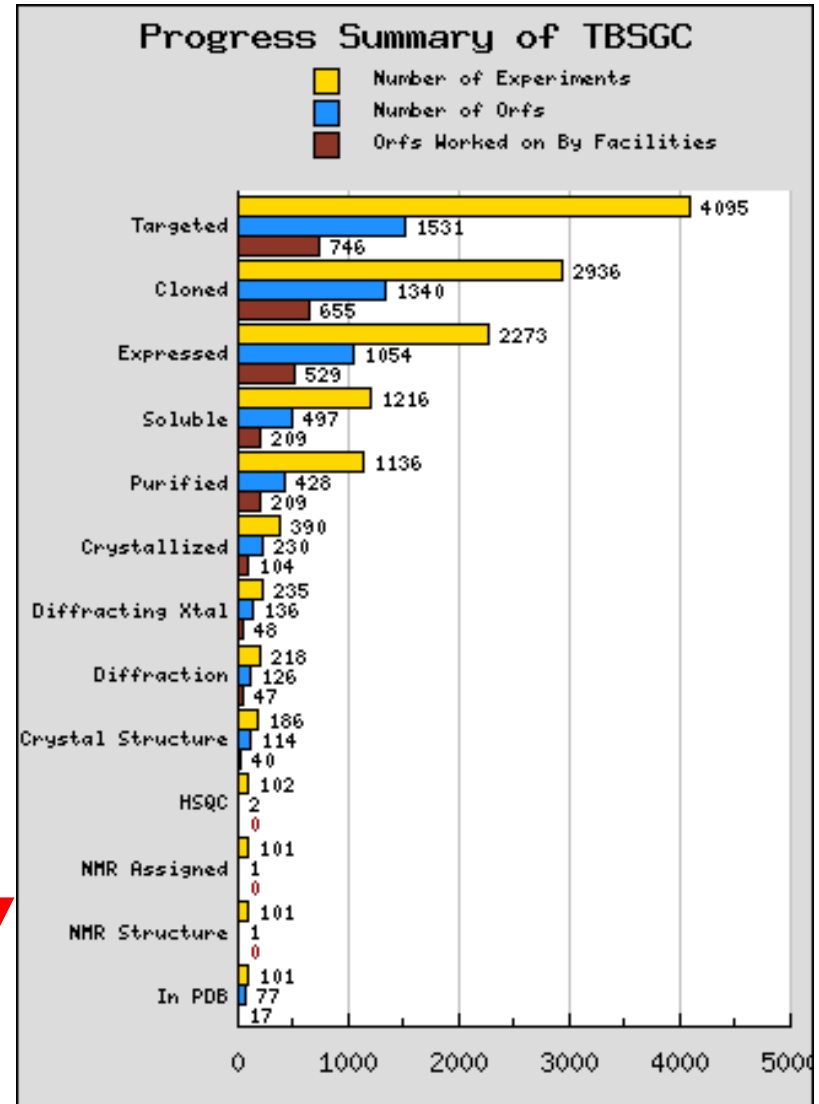
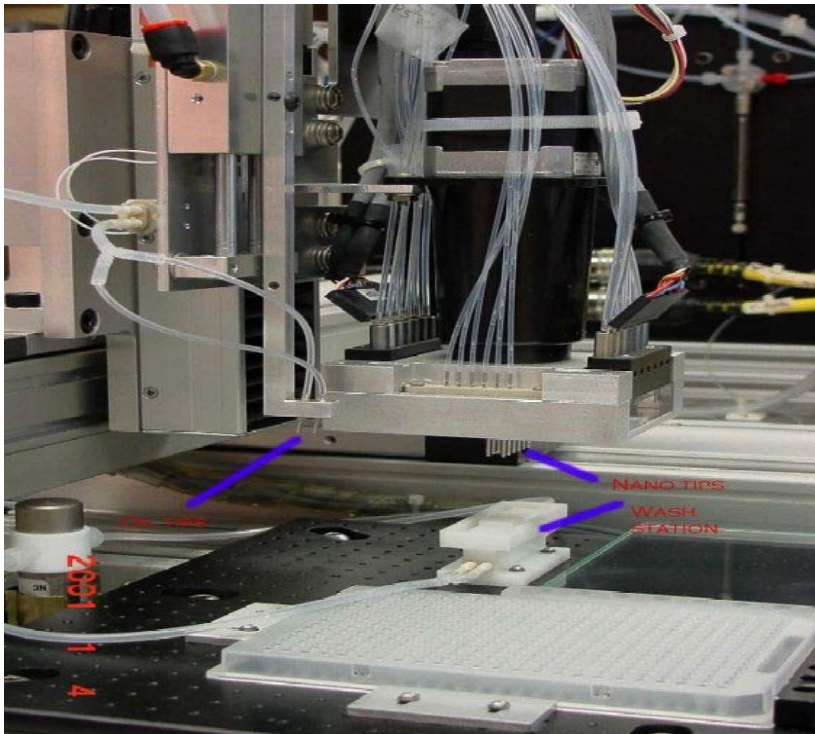

Estructura de Proteínas

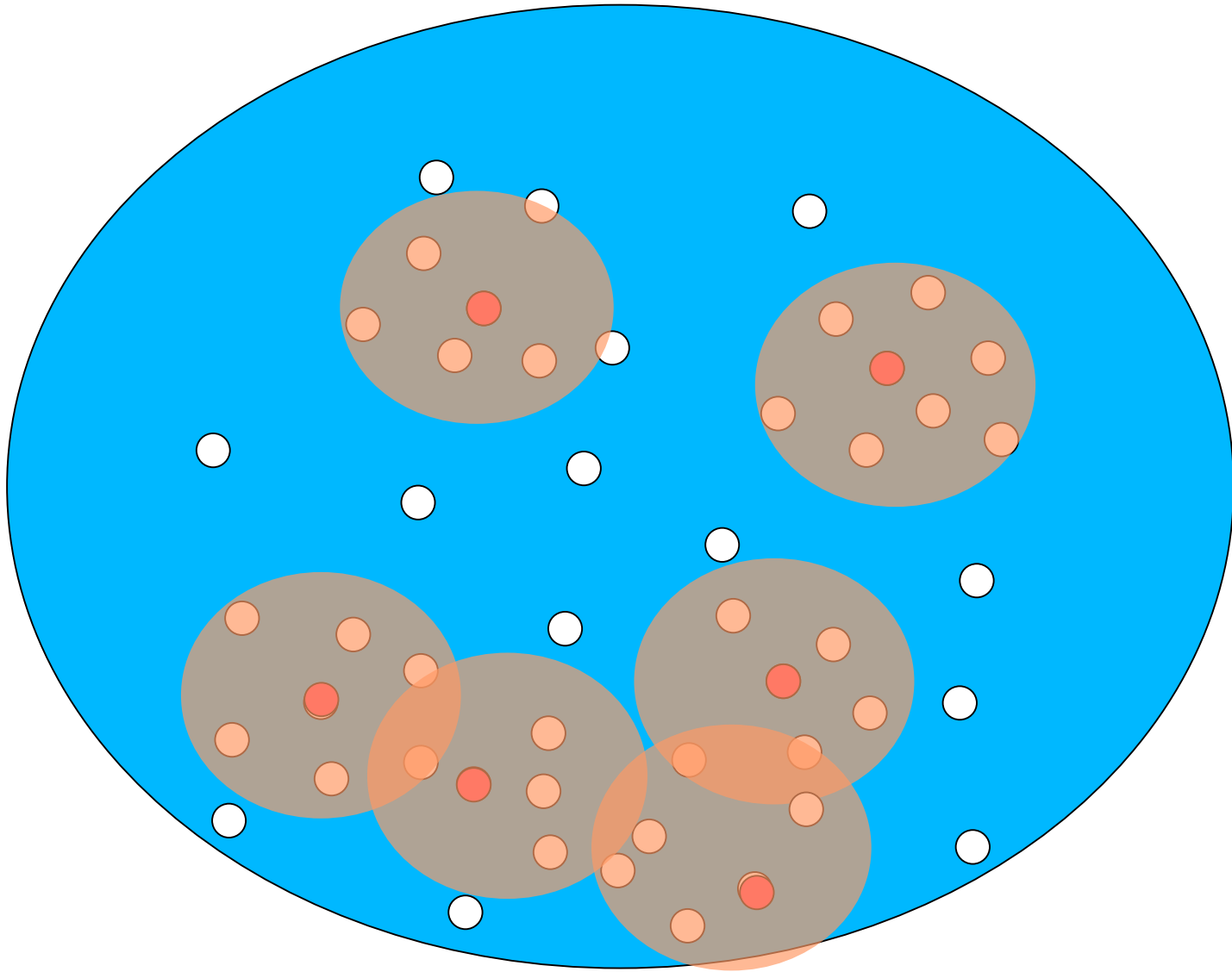
Predicción de Estructura Tridimensional de Proteínas

Florencio Pazos (CNB-CSIC)

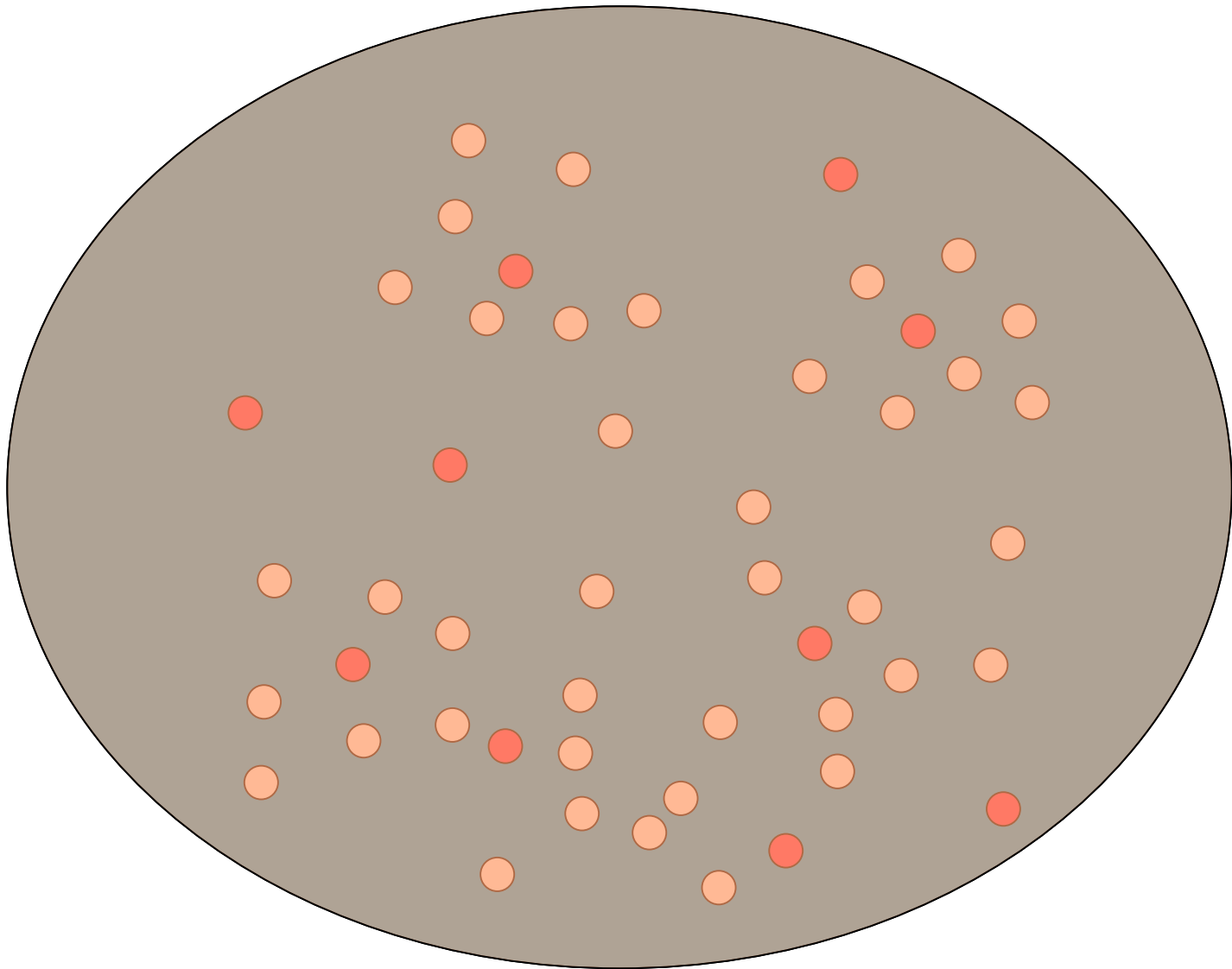
Genómica Estructural



Genómica estructural y predicción de estructura

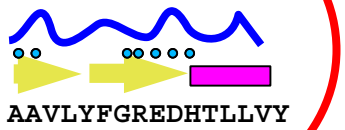


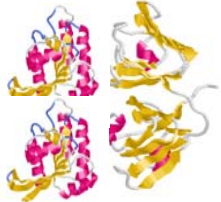


Genómica estructural y predicción de estructura



Predicción de estructura de proteínas

Clasificación de los métodos de predicción

Nivel estructura proteínas	Secundaria	-----	terciaria	cuaternaria
Representación de la proteína	<p>1D</p> 	<p>2D</p> 	<p>3D</p> 	<p>4D</p> 
Uso de información extra				
<i>Ab Initio</i>	pred. str. secundaria	mutaciones correlacionadas	<ul style="list-style-type: none"> - dinámica molecular - minimización de energía 	<i>docking</i>
<i>No Ab-Initio</i>	pred. str. secundaria		<ul style="list-style-type: none"> - modelado por homología - <i>threading</i> 	<i>docking con filtros</i>

Predicción de Estructura de Proteínas

Métodos 3D

- *Ab initio*
- Diseño por homología/Modelado comparativo.
- Reconocimiento de plegamiento/
diseño por homología remota/*threading*

Ab Initio

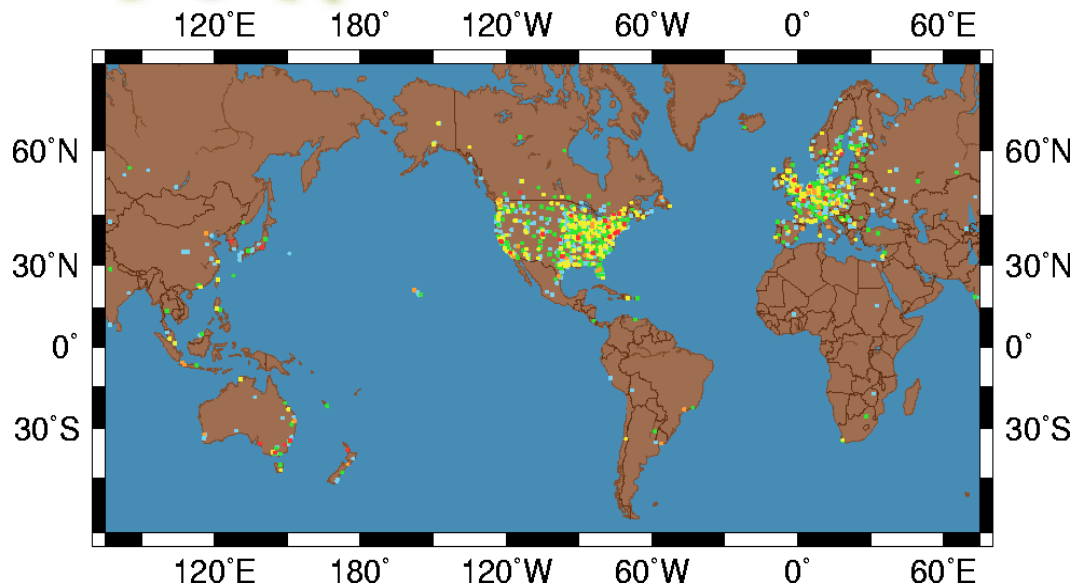
Basados en principios físico/químicos básicos (potenciales de interacción, ...).

Solo usan la secuencia primaria como entrada.

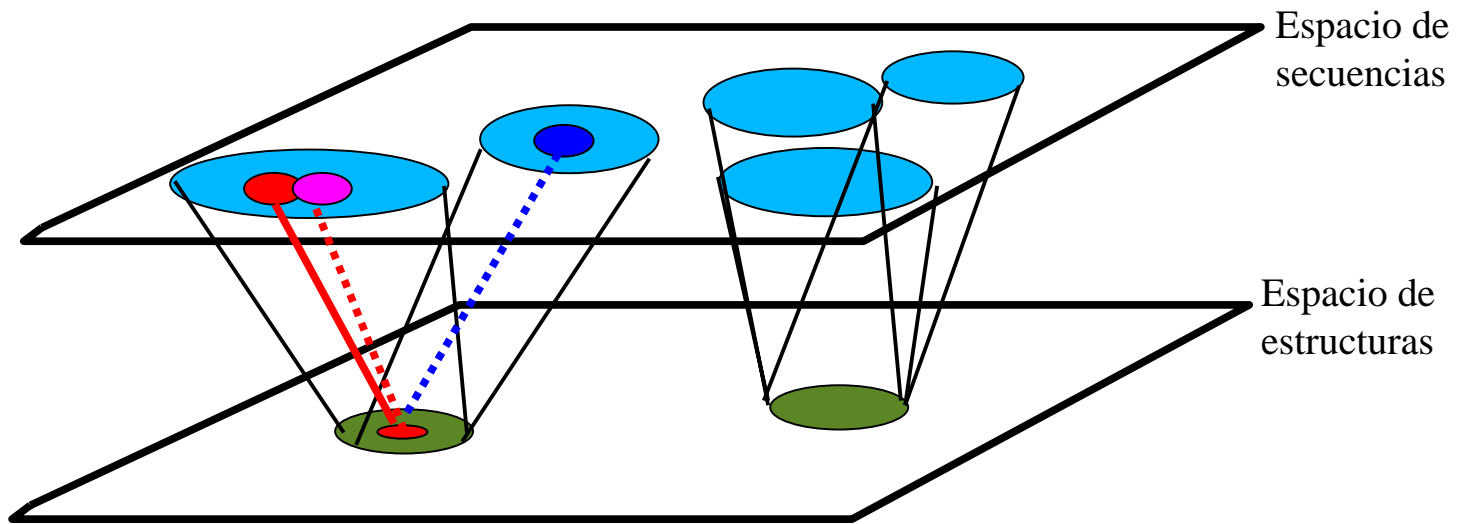
Interesantes pues son los que más conocimiento aportan sobre el proceso de plegamiento.

No usables aún (en general) para predicción 3D por

- Potenciales empíricos y semiempíricos con pequeñas inexactitudes que se acumulan para proteínas grandes y/o simulaciones largas.
- Requieren muchísima potencia de calculo.



Modelado por Homología vs. *Threading*

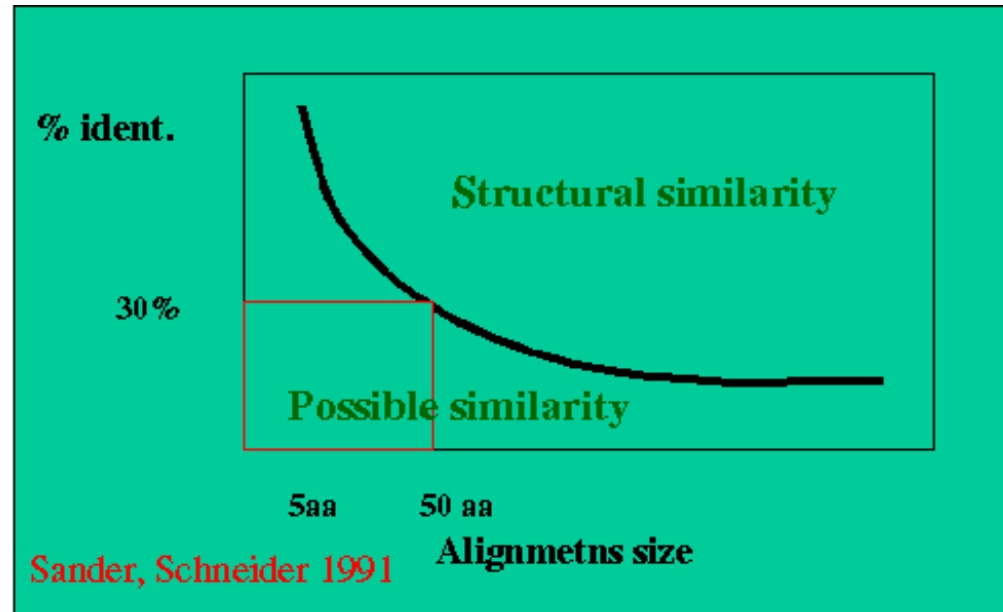
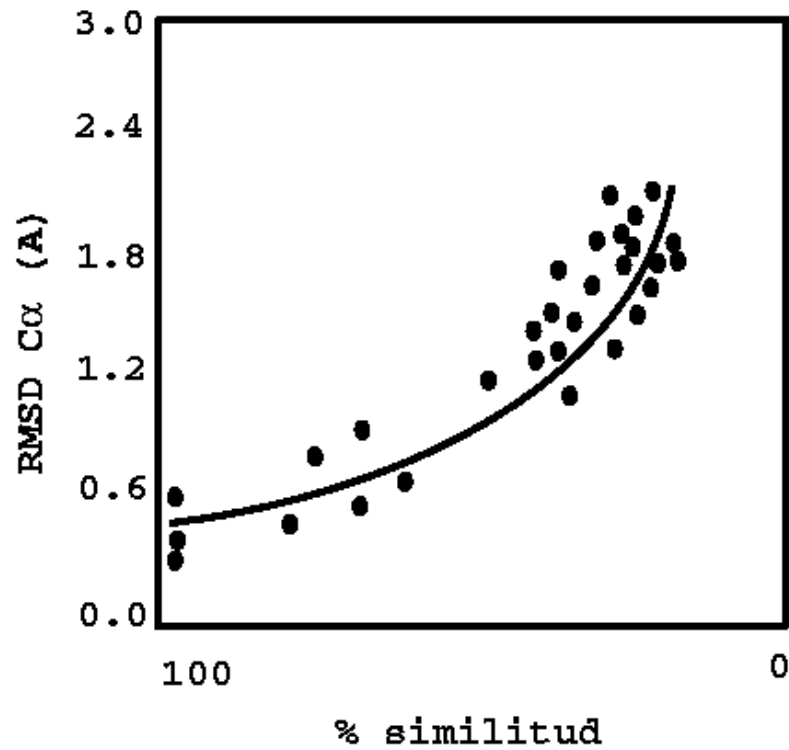


..... Diseño por homología

..... *threading*

Modelado por homología


Relación entre parecido estructural y parecido en secuencia



Chothia, C. & Lesk, A.M. (1986) The relation between the divergence of sequence and structure in proteins. *EMBO J.*, **5**, 823-826.

Sander, C. & Schneider, R. (1993) The HSSP data base of protein structure-sequence alignments. *Nucleic Acids Res.*, **21**, 3105-3109.

Modelado por Homología. Estrategia general

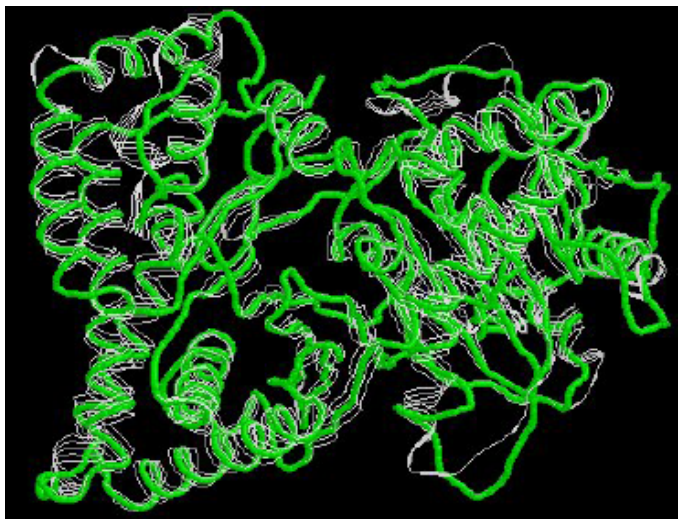
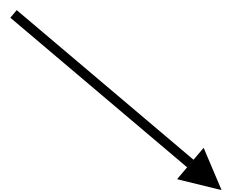
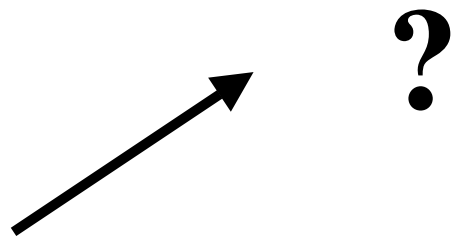
- Localizar molde
 - Generar alineamiento entre secuencia problema y molde
 - Para átomos del esqueleto tomar las coordenadas del molde.
 - Para aa. conservados tomar mismas coordenadas para las cadenas laterales
 - Cadenas laterales de otros aa.
 - usar librerías de rotámeros
 - usar la mayor cantidad de átomos posibles ($C\beta \rightarrow C\gamma, \dots$)
 - Modelar loops (inserciones y deleciones)
 - Optimizar empaquetamiento (MD, ...)
 - Evaluar calidad del modelo
- 

Modelado por Homología. Alineamiento molde-proteína problema

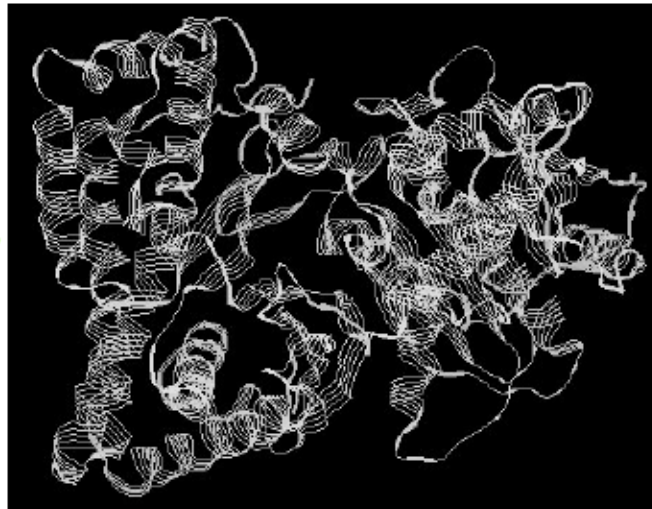
```
AHPLTSDFGGHTERDLHA  
|| |||: |||| |:||  
AHTLTSEGGGHTTEADVHA
```

target

template

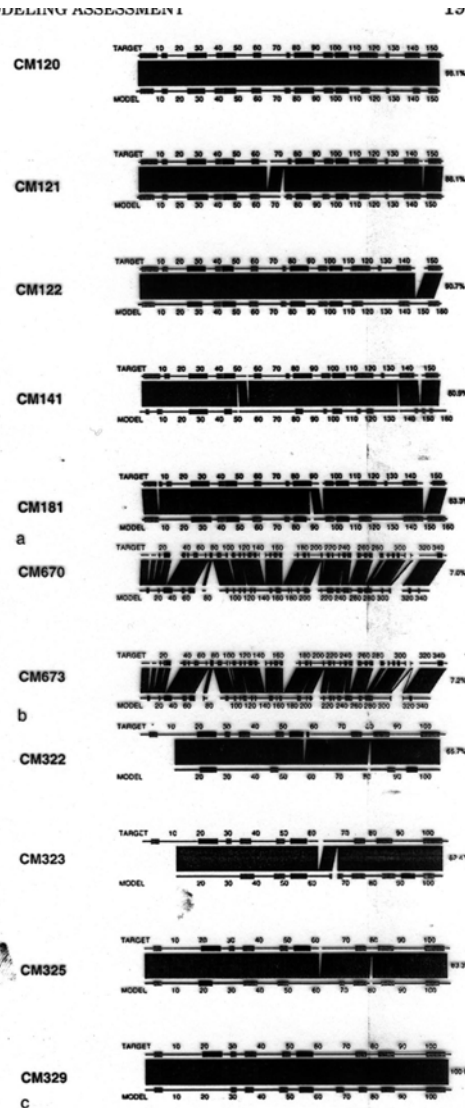


model



template (1ndb)

Modelado por Homología. Alineamiento molde-proteína problema



MOLECULAR MODELING OF PROTEIN TERTIARY STRUCTURES

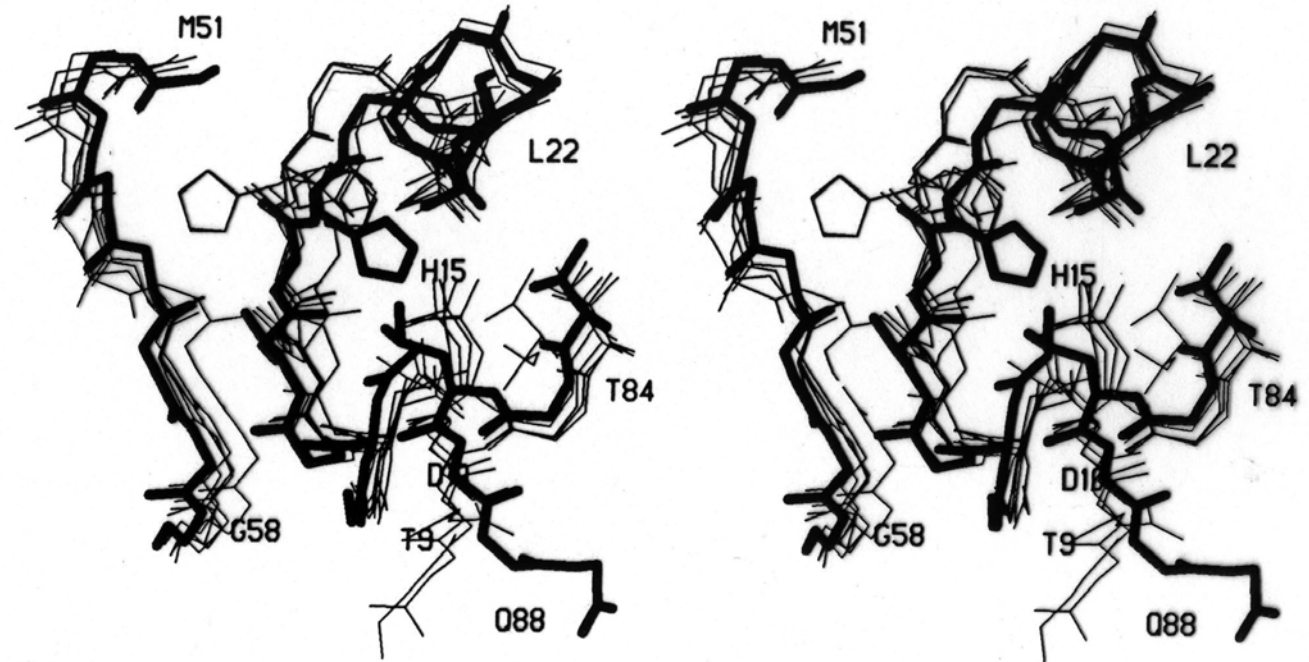
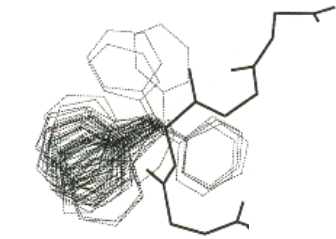
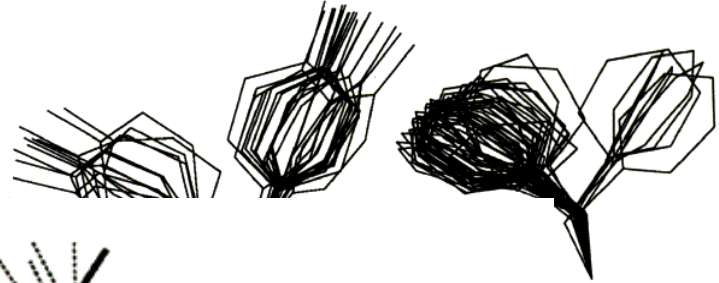
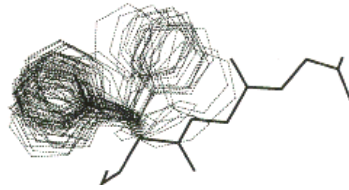


Fig. 3. Comparisons of sequence alignment with structural alignment for selected examples. Complete sets can be viewed on our Web page. The horizontal axes show the structural alignment with helices indicated in black and strands in grey; the lines between the axes indicate the sequence aligned residues. Thus, if the alignment is 100% correct, all the lines will be vertical; lines at an angle indicate errors in the alignment. a: T0001 (dihydrofolate reductase). b: T0027 (pectate lyase). c: T0009 (stellacyanin).

Modelado por Homología. Cadenas laterales



A: 0.92



distributions.



C: 0.56

Fig. 2. Examples of rotamers proposed on the corresponding freedom; 0.33 means maximum

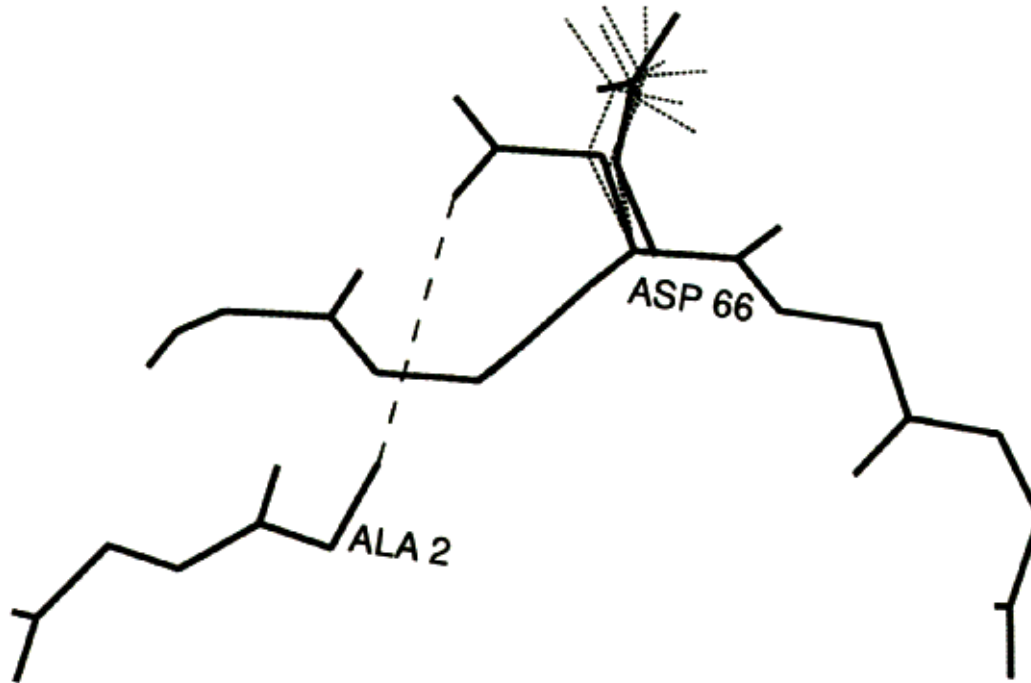


Fig. 6. Rotamer distribution and real position for aspartic acid-66 in HPR. The hydrogen bond between residue 66 and the backbone of residue 2 is indicated. The position-specific rotamers for residue 66 are shown in dashed lines.

Modelado por Homología. Nucleo Estructural

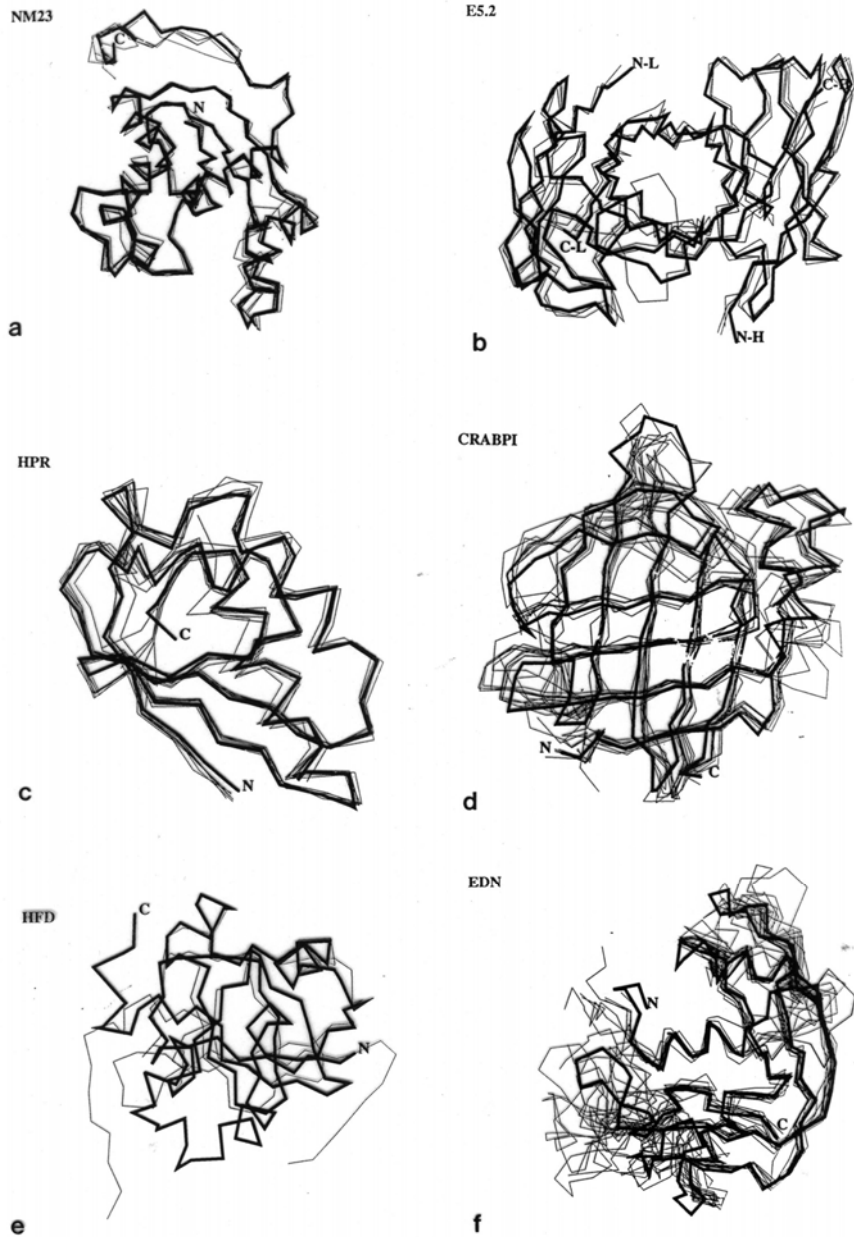
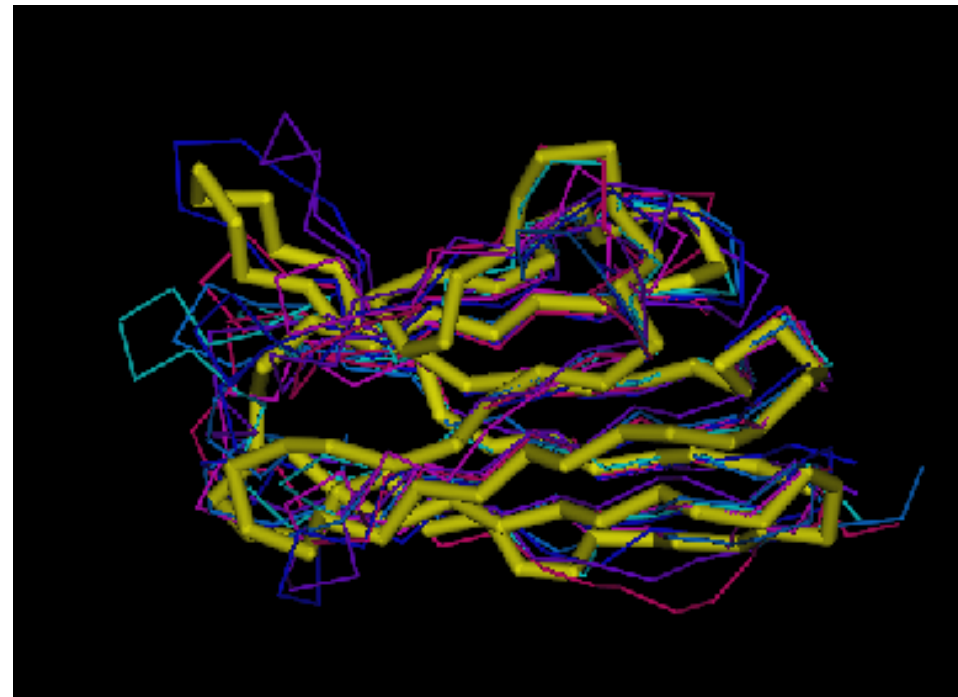
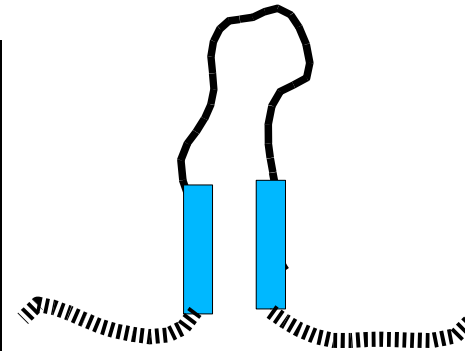
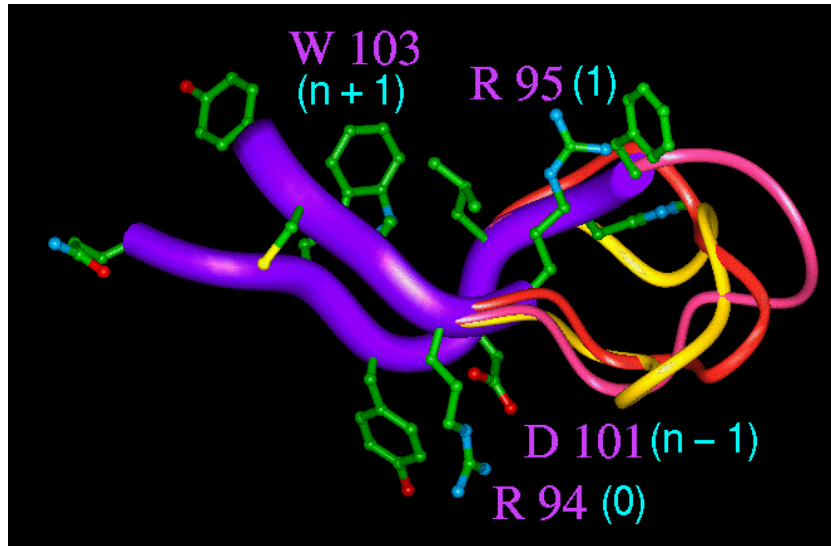


Fig. 1. a-f.



Modelado por Homología. *Loops*



3₁₀-helix

maroon

x

Figure 1. (Continued.)

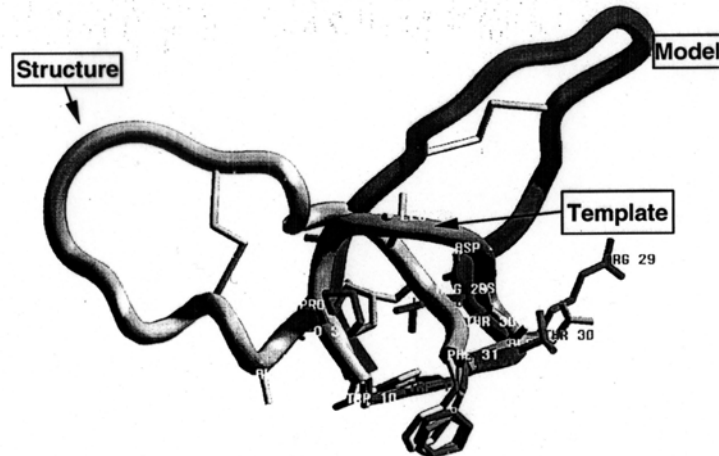
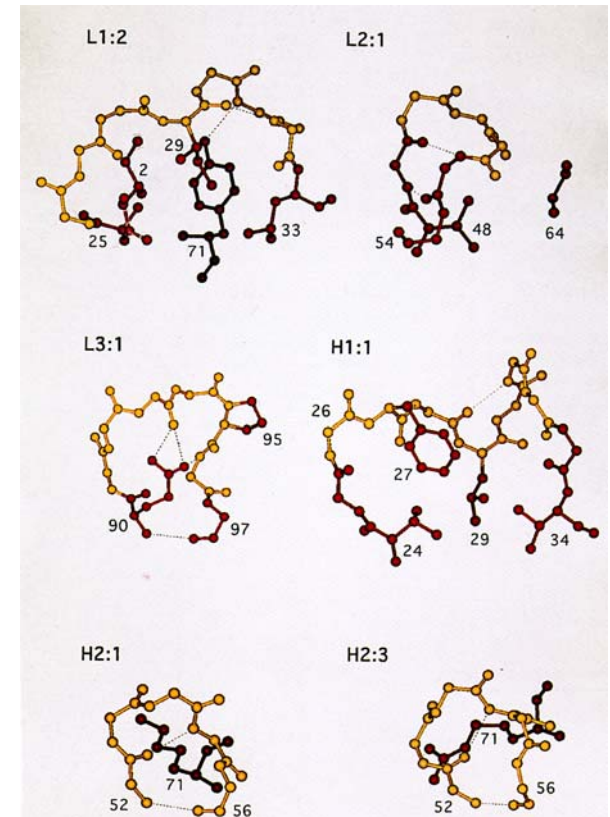
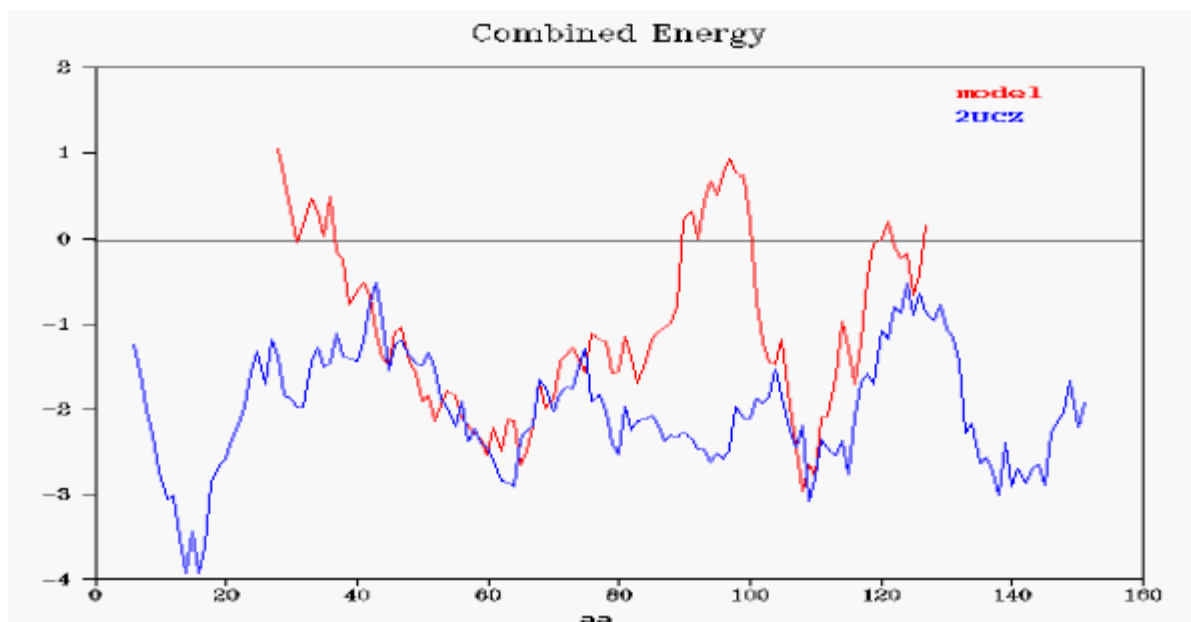
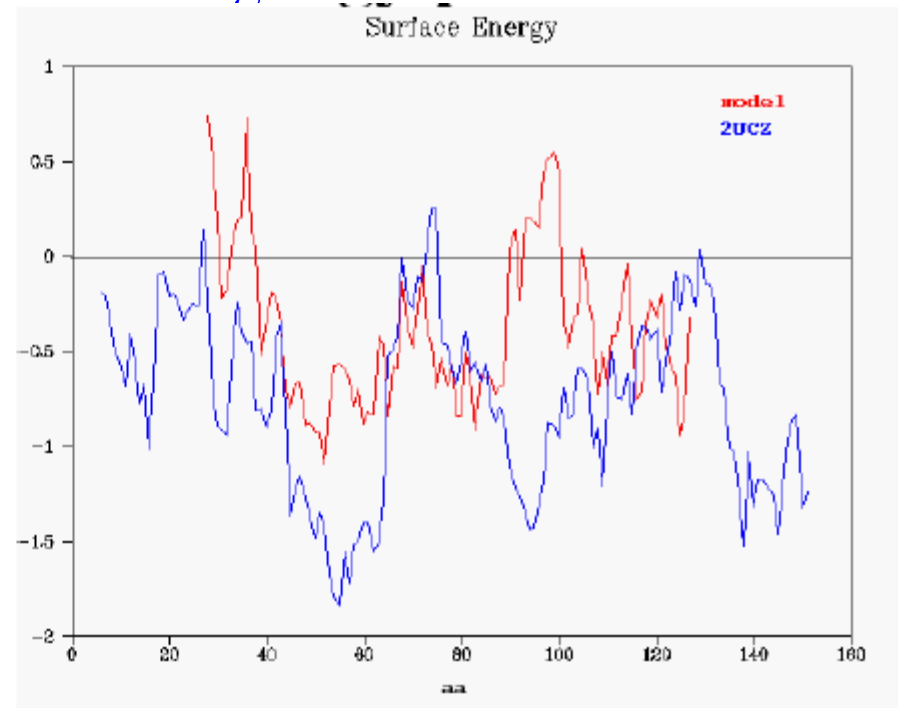
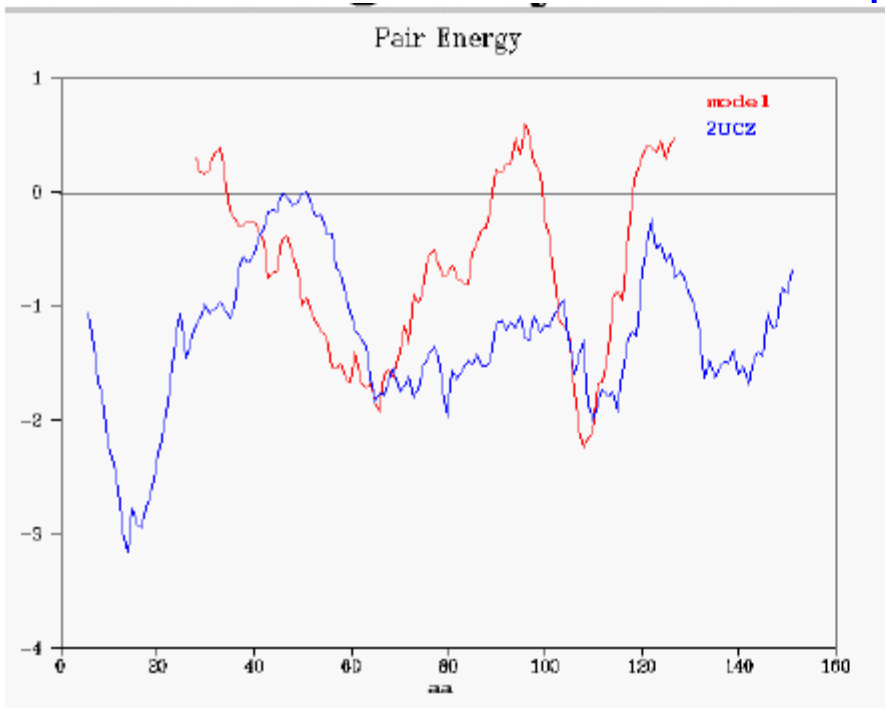


Fig. 2. Comparison of the loop Ala13-Gly27 of T0082 in the model and the structure. The loop at the equivalent position in the parent structure (1bof) is also shown.



Modelado por Homología



Modelado por Homología

Servidores Públicos y Repositorios de Modelos

SWISS-MODEL - www.expasy.ch/swissmod/SWISS-MODEL.html

An automated comparative modelling server (ExPASy, CH)

CPHmodels - www.cbs.dtu.dk/services/CPHmodels/

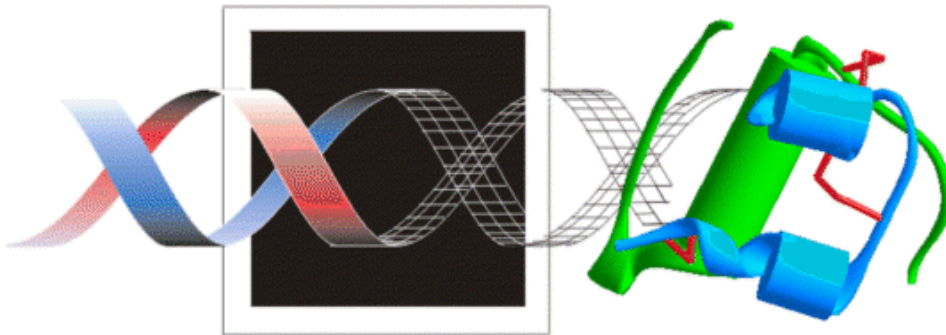
Server using homology modelling (BioCentrum, Denmark)

SDSC1 - cl.sdsc.edu/hm.html

Protein structure homology modeling server (San Diego, USA)

3D-JIGSAW - www.bmm.icnet.uk/servers/3djigsaw/

Automated system for 3D models for proteins (Cancer Research UK)



http://www.expasy.ch/swissmod/SM_3DCrunch.html



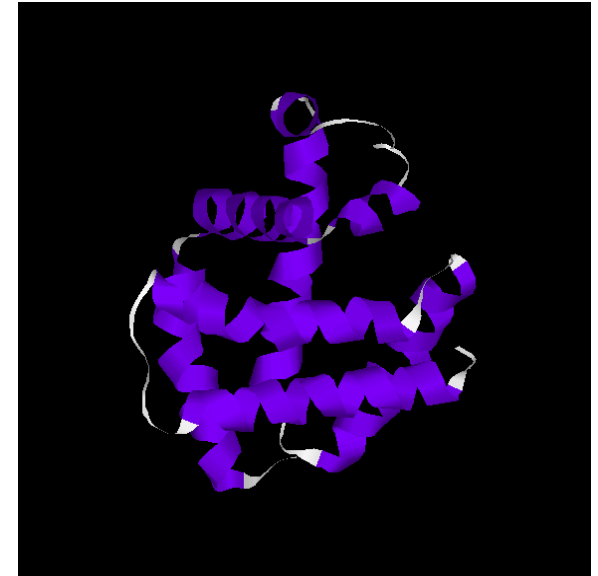
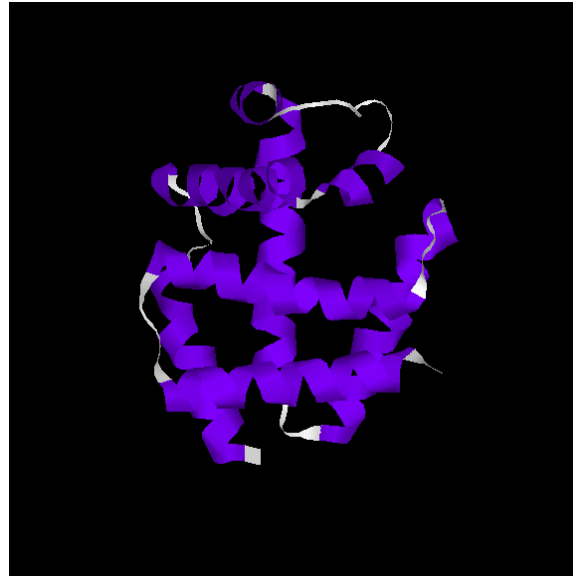
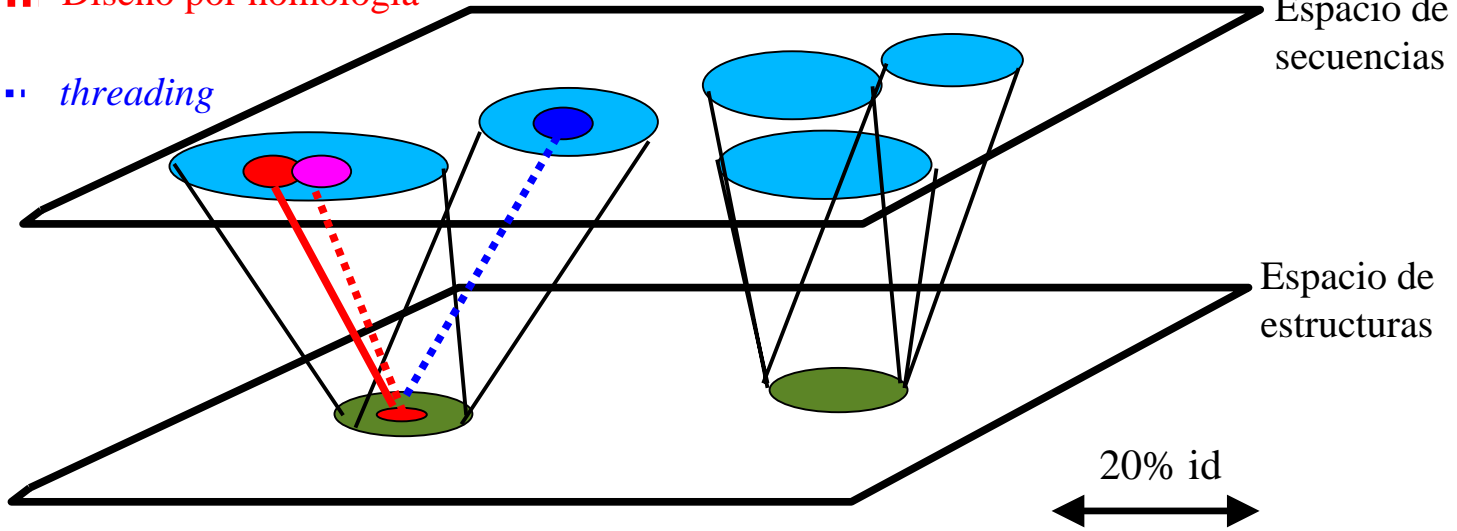
**Database of Comparative
Protein Structure Models**

<http://pipe.rockefeller.edu/modbase>

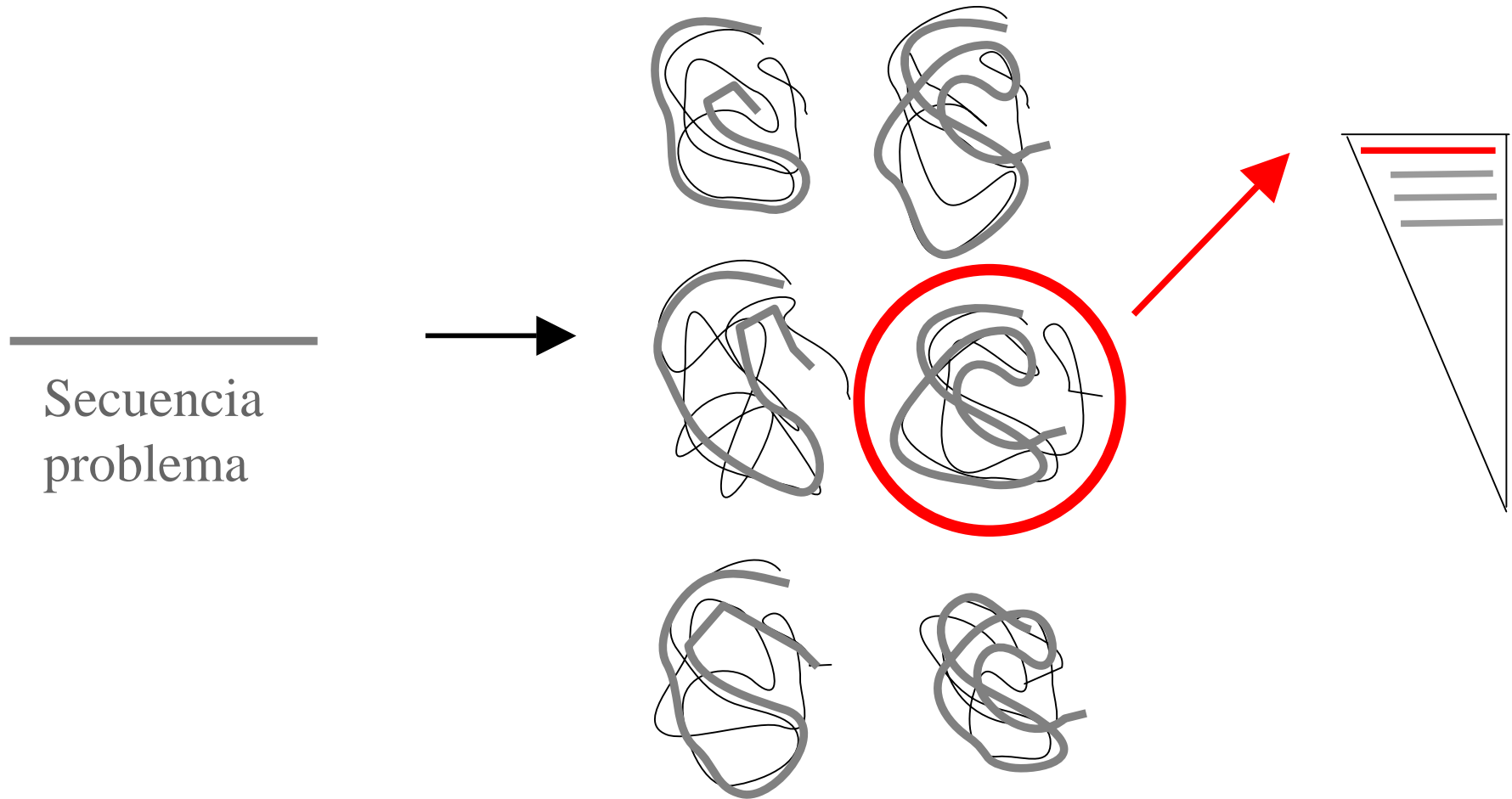
Modelado por Homología vs. *Threading*

..... Diseño por homología

..... *threading*



Threading. Estrategia general



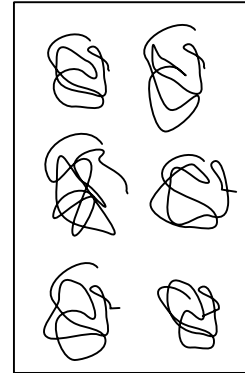
Algoritmos de *threading*. General.

1. Library of protein structures (**fold library**)

all known structures

representative subset (seq. similarity filters)

structural cores with loops removed



2. Binary alignment algorithm with **Scoring function**

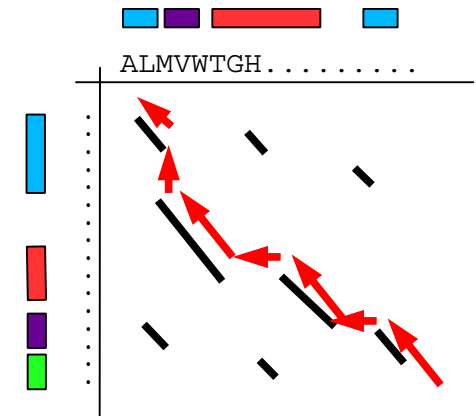
contact potential

environments

Instead of aligning a sequence to a sequence, align strings of descriptors that represent 3D structural features.

Usual Dynamic Programming: score matrix relates two amino acids

Threading Dynamic Programming: relates amino acids to environments in 3D structure

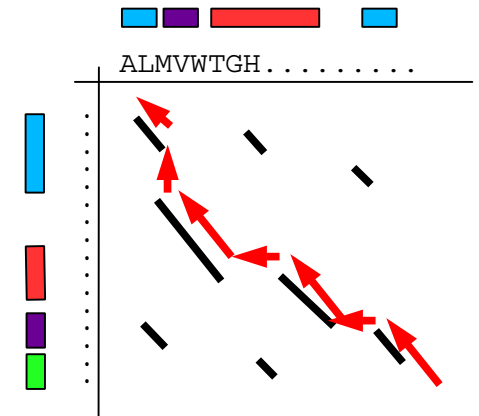


3. Method for generating models via alignments (same as homology modl.)

Algoritmos de *threading*

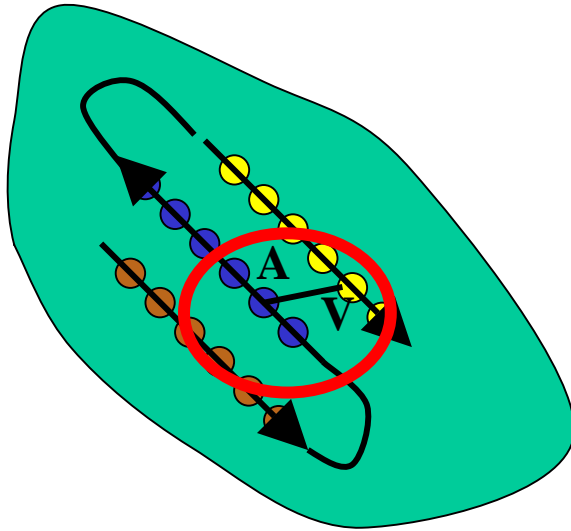
Función de Puntuación

- Aminoácido en ambiente similar a como suele estar en estructuras conocidas.
- Potenciales de solvatación.
- Potenciales de contacto.
- Coincidencia de estructuras secundarias (real y predicha) y accesibilidades.
- Matrices de homología remota extraídas de alineamientos estructurales.
-
- *Búsqueda con Modelos de Markov (HMMs).*

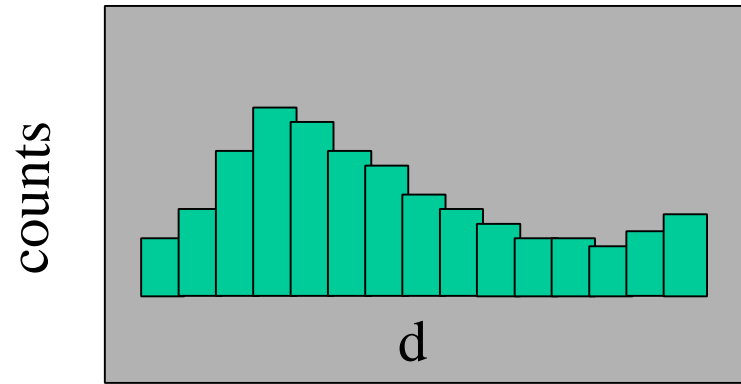


Algoritmos de *threading*

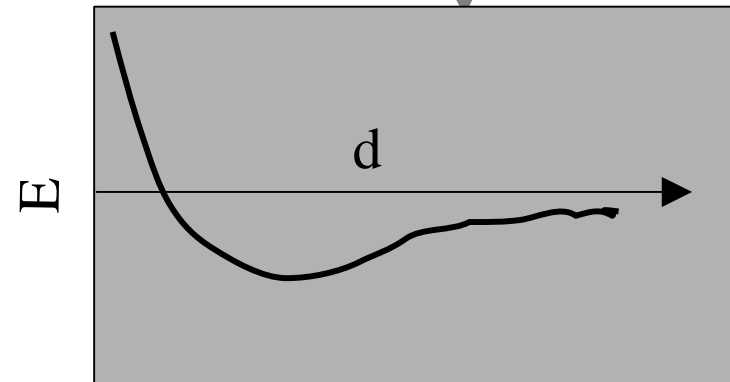
Potenciales de contacto (potenciales estadísticos)



Count pairs of each residue type at different separations



Energy of interaction =
 $-KT \ln$ (frequency of interactions)
Boltzmann principle

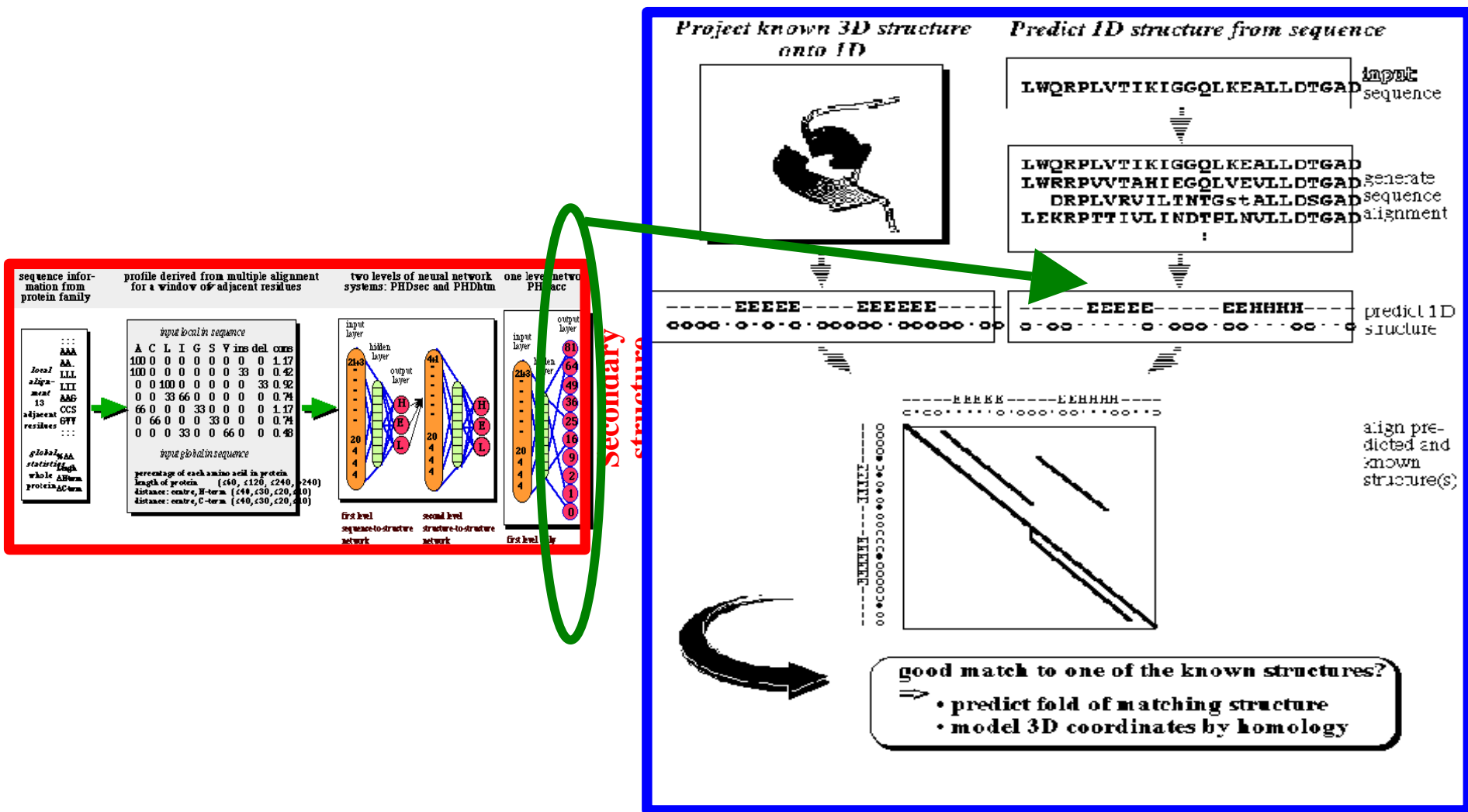


Jones, D., Taylor, W. and Thornton, J. (1992) A new approach to protein fold recognition. *Nature*, **358**, 86-89.

Sippl, M.J. (1995) Knowledge-based potentials for proteins. *Curr Opin Struct Biol*, **5**, 229-235.

Algoritmos de *threading*

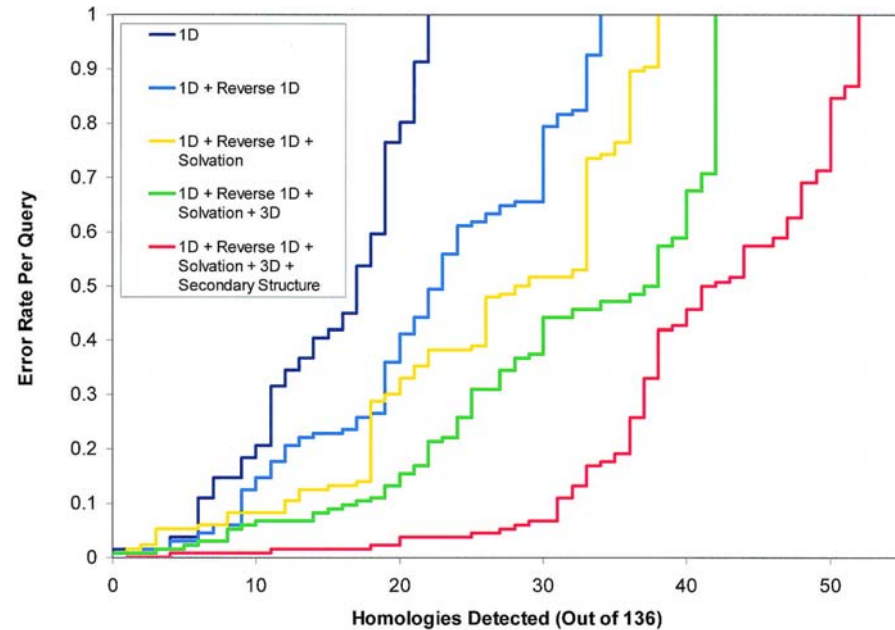
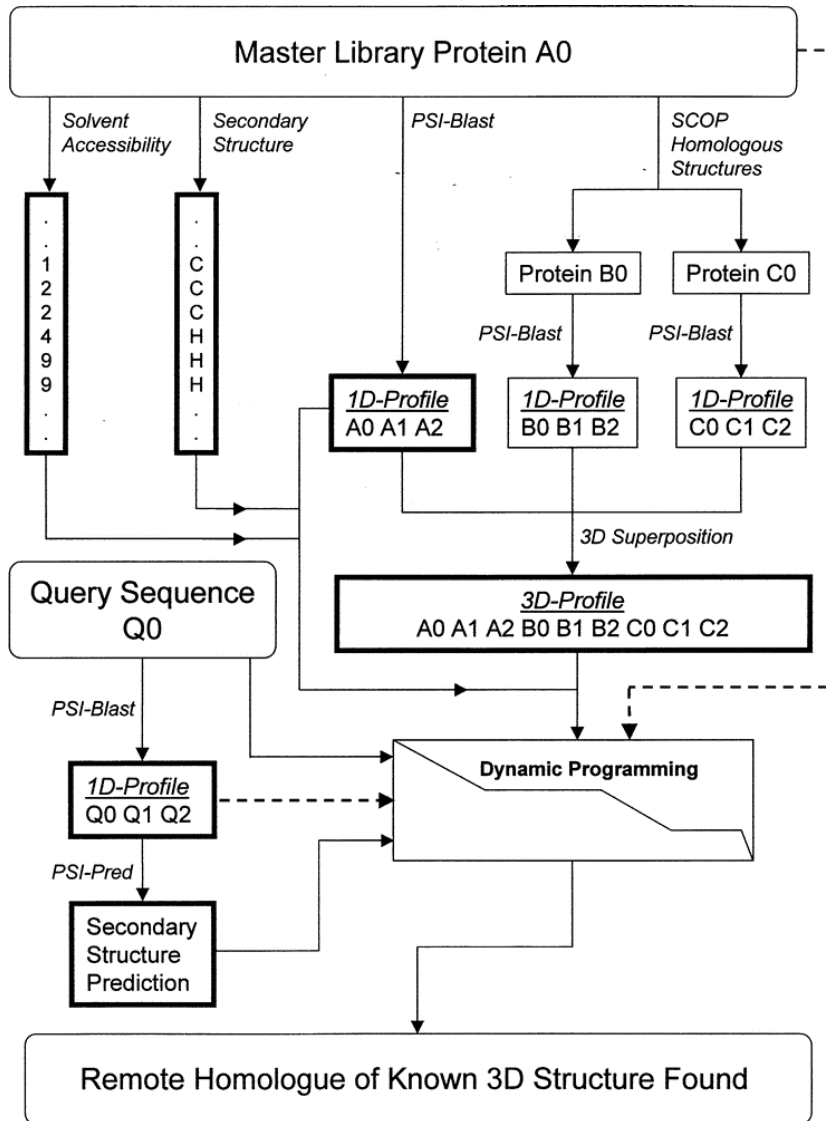
Coincidencia de estructura secundaria y accesibilidad



Rost, B. (1995) TOPITS: Threading one dimensional predictions into three dimensional structures. In Rawlings, C. and al., e. (eds.), *Third International Conference on Intelligent Systems for Molecular Biology*. AAAI Press. Menlo Park, CA. USA., England, pp. 314-321.

Algoritmos de *threading*

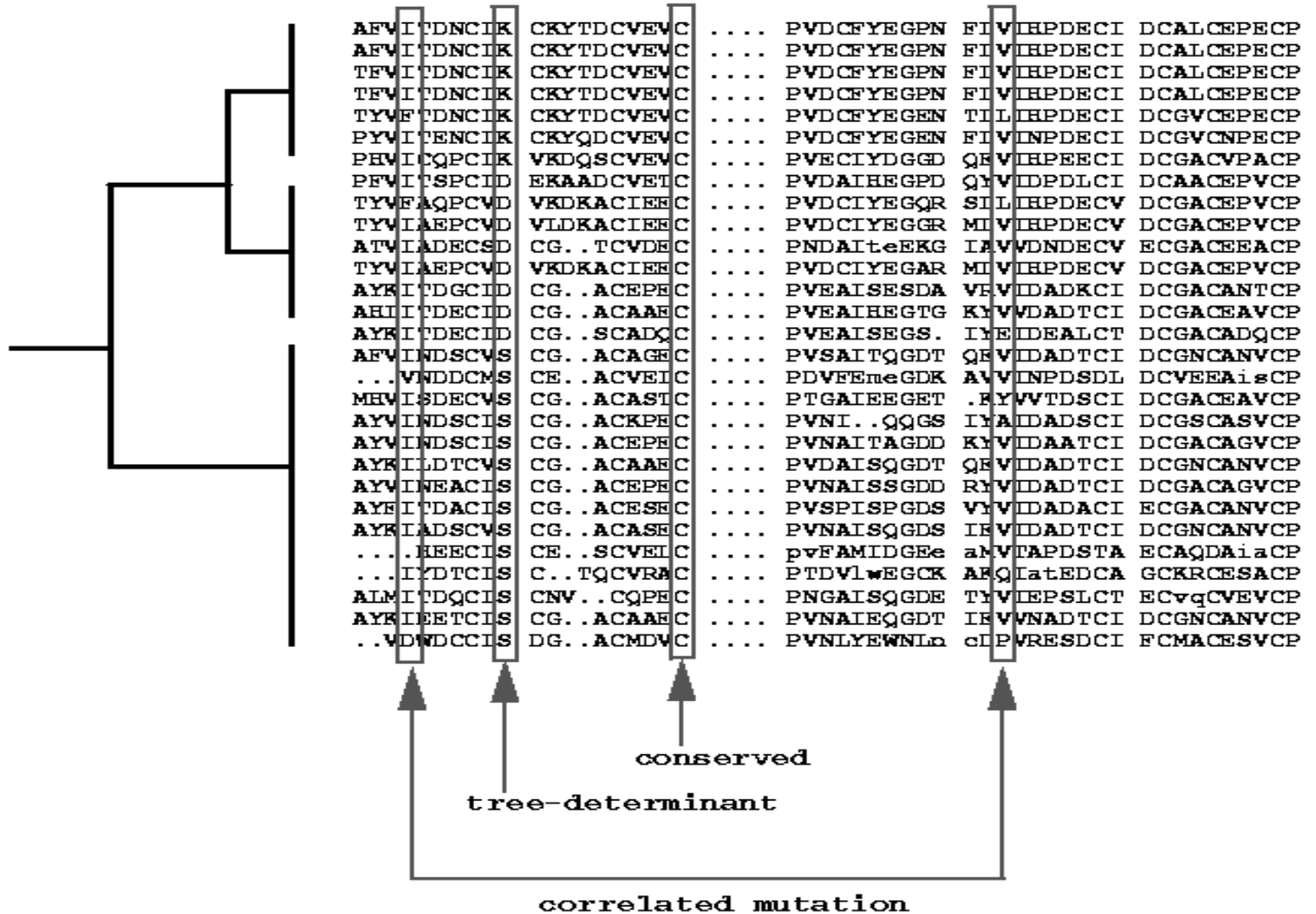
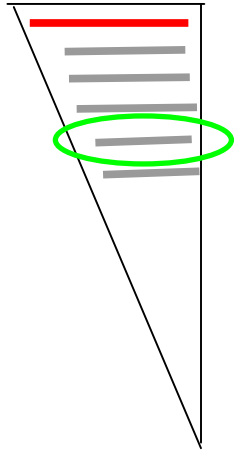
Perfiles de secuencia + estructura secundaria



Threading

Post-procesamiento de resultados

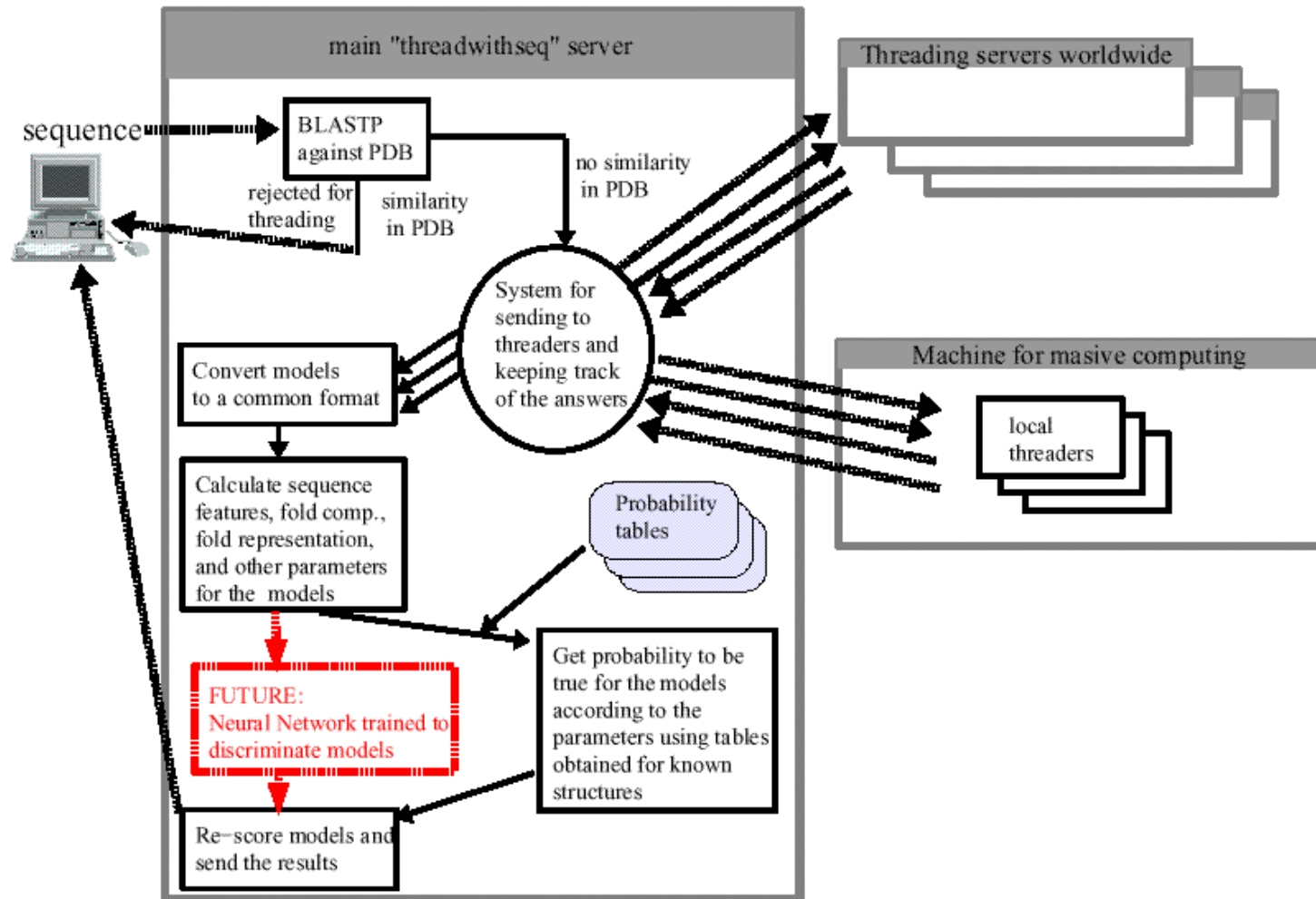
Combinación con información adicional



Threading

Post-procesamiento de resultados

Meta-servidores

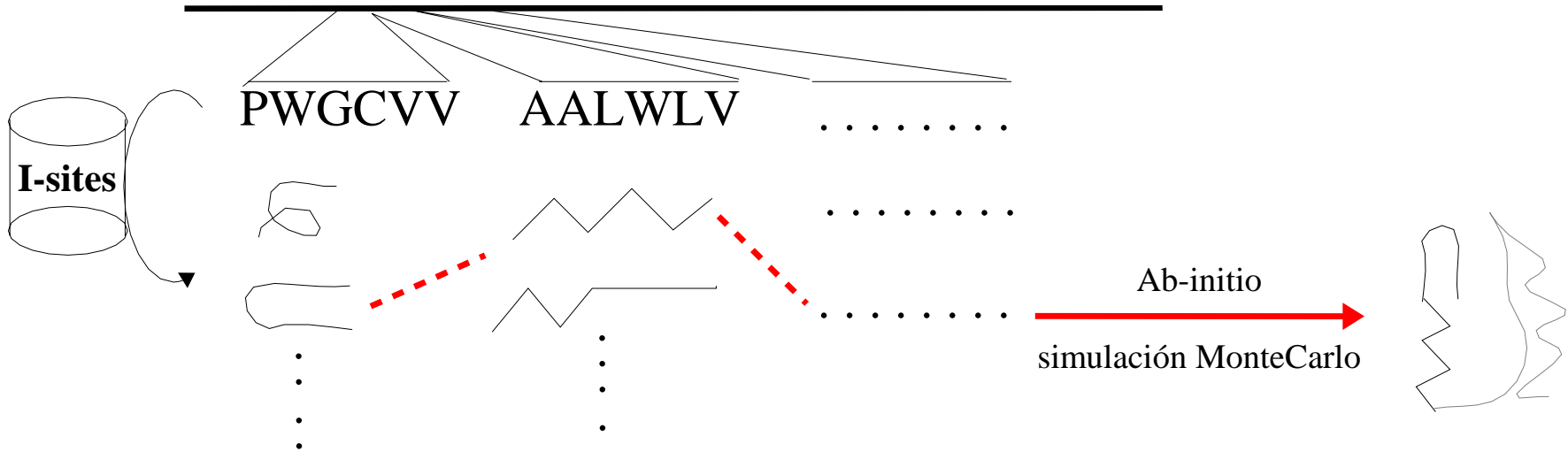
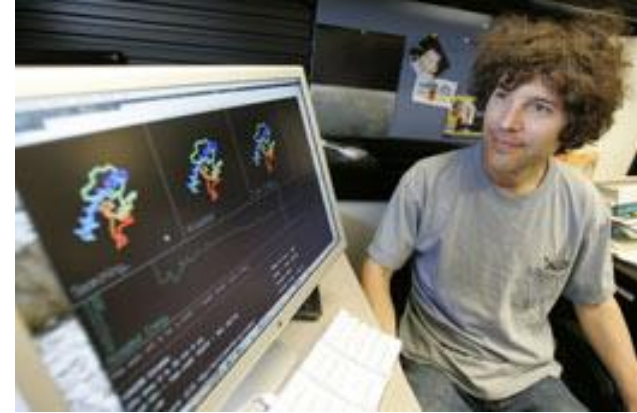


<http://bioinfo.pl/meta> (Metaserver + "3D-jury")

Predicción de Estructura

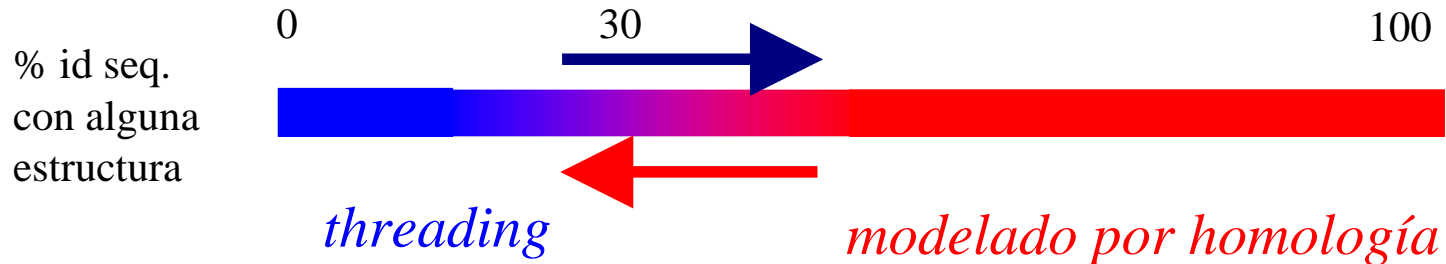
Mini-threading + ab-initio

Rosetta



<http://rosetta.bakerlab.org/>

Modelado por Homología vs. *Threading*



aplicación

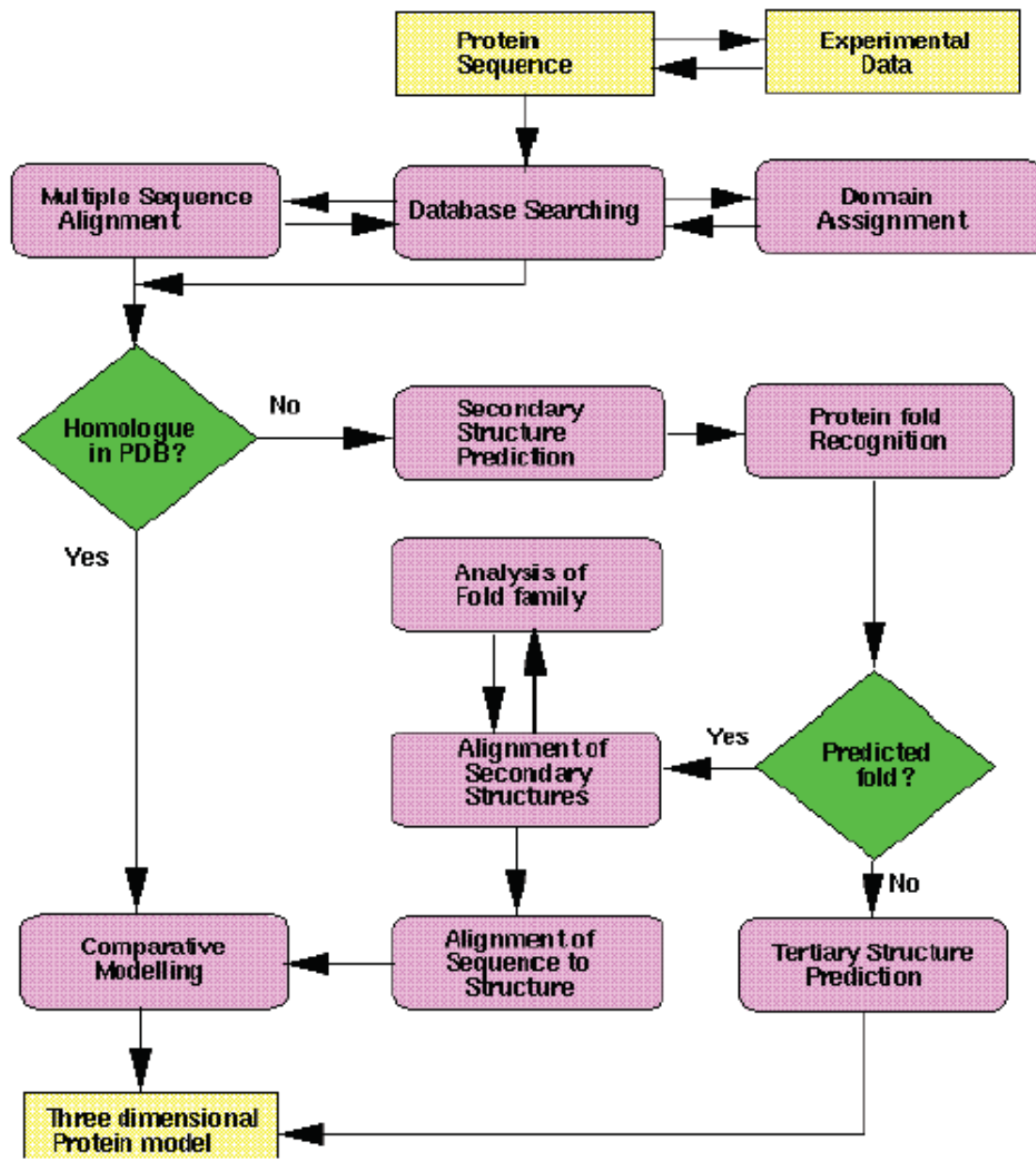
cualquier secuencia **$\geq 30\%$ con algun PDB**

calidad modelos

fold alineamiento **nivel atómico**

- diferencia en loops y gaps
- movimientos de dominios
- cambios en el backbone
- cadenas laterales
- loops

50 70

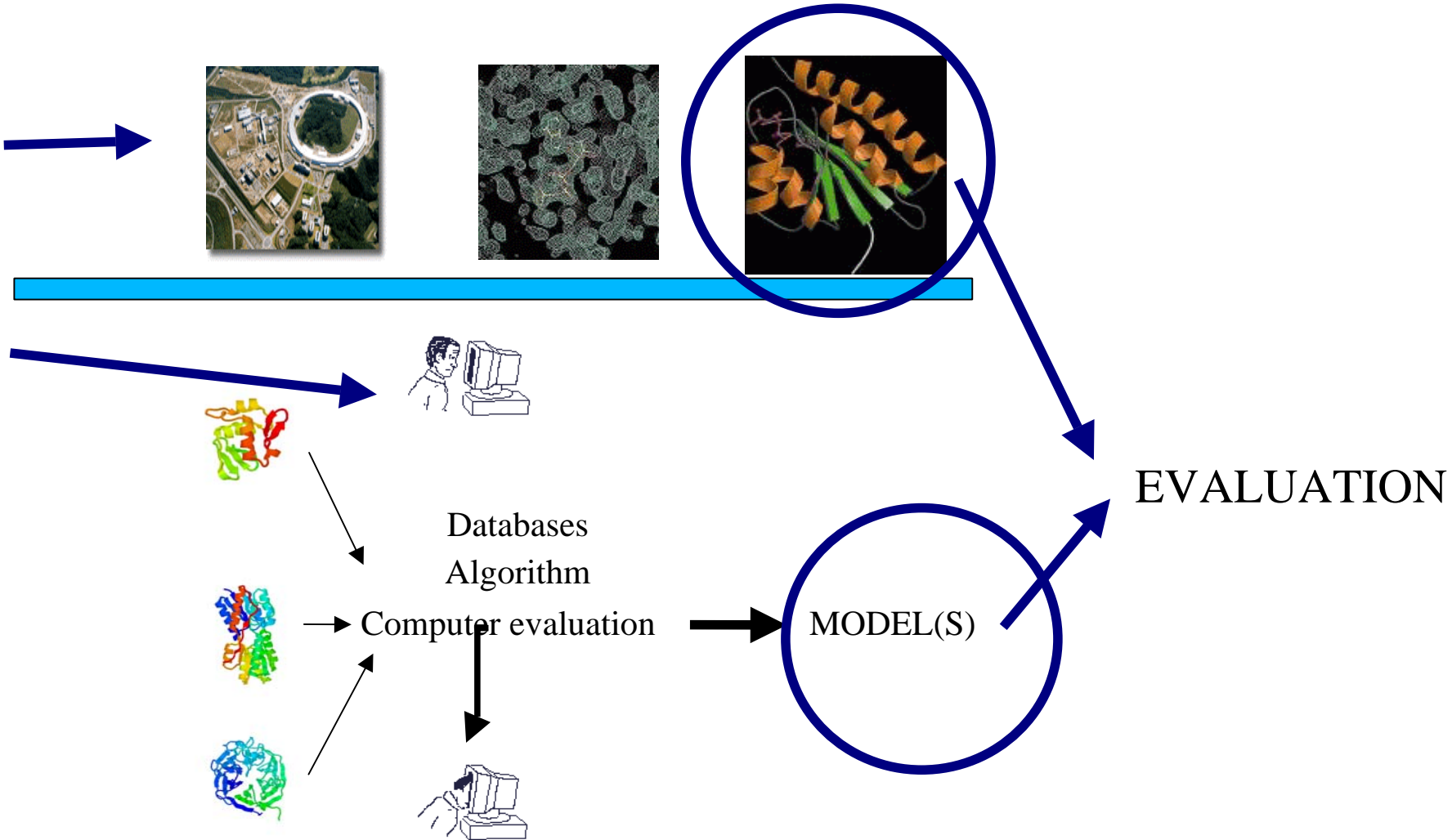


R. Russell
EMBL

Evaluación de métodos de predicción

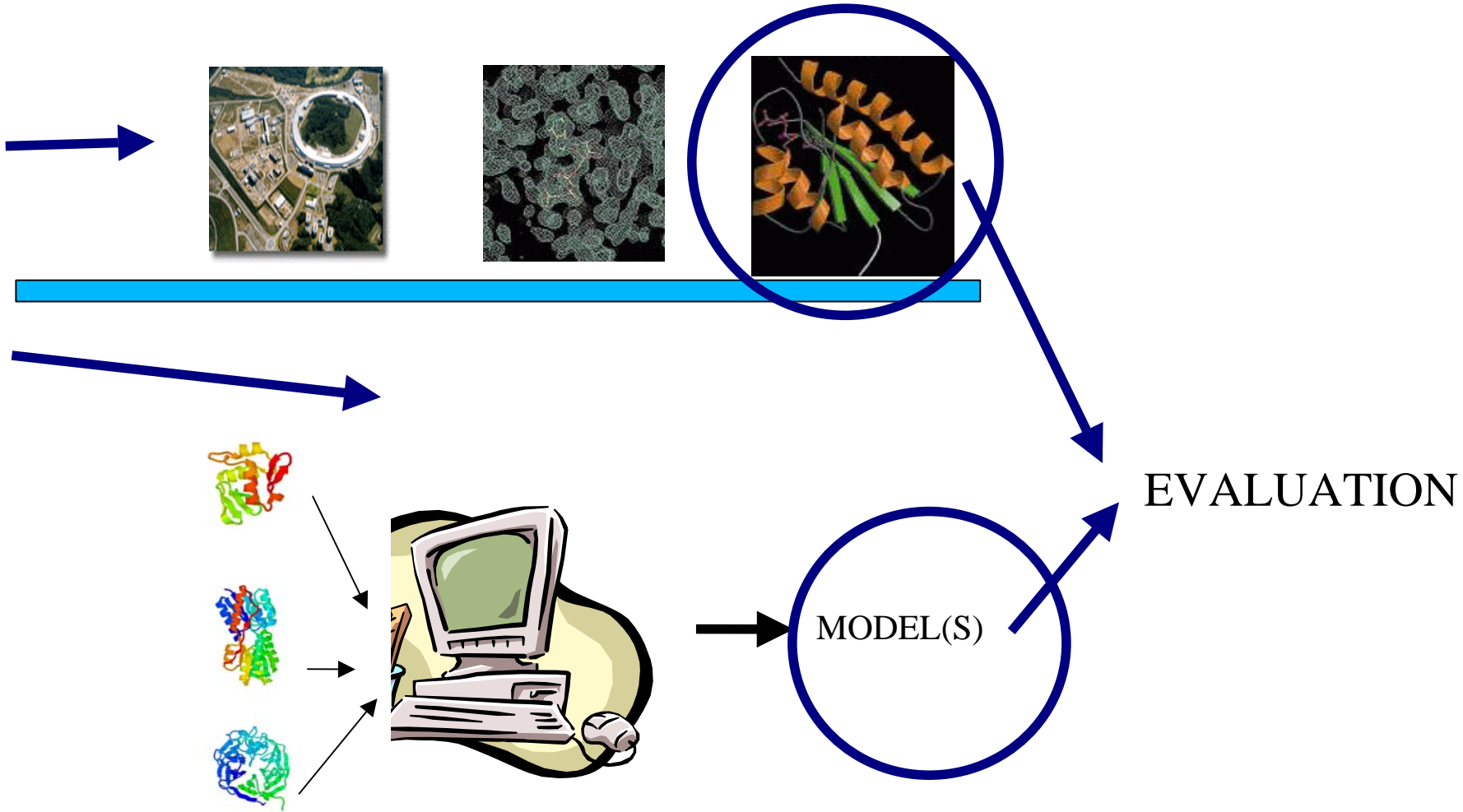
I) CASP (bianual 94-06)

MAKEFGIPAAVAGTVLNVVEAGGWVTTIIVSILTAVGSG
GLSLLAAAAGRESIKAYLKKKEIKKGRRAVIAW



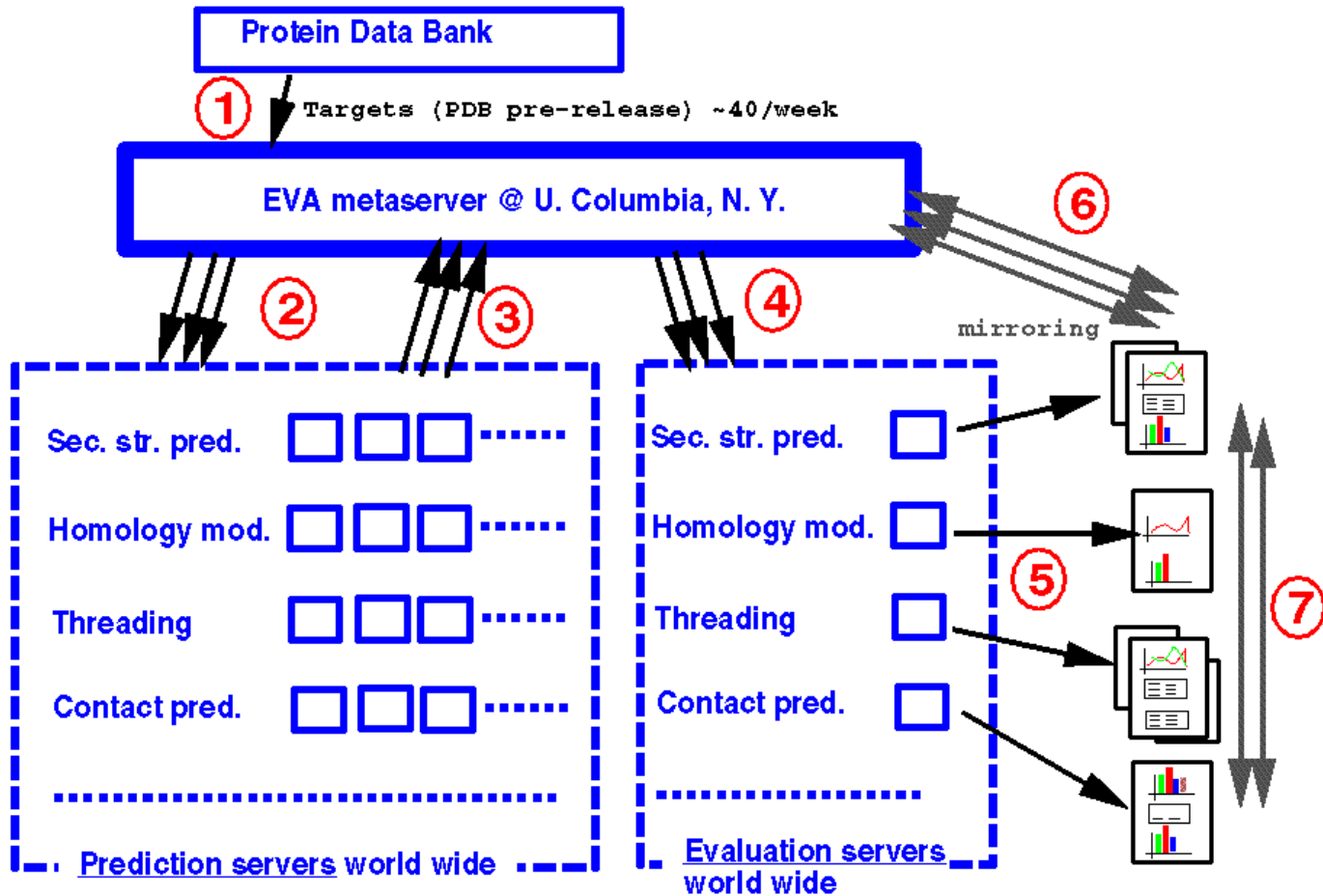
Evaluación de métodos de predicción II) CAFASP (bianual 98-06)

MAKEFGIPAAVAGTVLNVVEAGGWVTTIIVSILTAVGSG
GLSLLAAAGRESIKAYLKKKEIKKGRRAVIAW



Evaluación de métodos

III) EVA/LiveBench



Evaluation results

Statics
 acc. vs.time
 acc. vs. server


Eyrich, V.A., Marti-Renom, M.A., Przybylski, D., Madhusudhan, M.S., Fiser, A., Pazos, F., Valencia, A., Sali, A. and Rost, B. (2001) EVA: continuous automatic evaluation of protein structure prediction servers. *Bioinformatics*, **17**, 1242-1243.

Koh, I.Y.Y., Eyrich, V.A., Marti-Renom, M.A., Przybylski, D., Madhusudhan, M.S., Eswar, N., Grana, O., Pazos, F., Valencia, A., Sali, A., *et al.* (2003) EVA: evaluation of protein structure prediction servers. *Nucl. Acids. Res.*, **31**, 3311-3315.

Netscape: EVA: Evaluation of automatic structure prediction servers

File Edit View Go Communicator Help

Bookmarks Location: <http://www.pdg.cnb.uam.es/eva/> What's Related



[EVA mirrors](#) - [Secondary structure](#) [Comparative modelling](#) [Contacts](#)

Version May 7, 2001

OBJECTIVES:

EVA continuously and automatically analyzes protein structure servers in 'real'

RESULTS:

- [PDB statistics](#)
- [secondary structure](#)
- [comparative modelling](#)
- [inter-residue contacts](#)

INFORMATION:

- EVA [flow chart](#)
- EVA [concept](#)
- Structure prediction
- Related [resources](#)

CONTACT:

- EVA eva@cubic.bioc.columbia.edu
- EVA [team](#)

Netscape: EVA_con. Results in short.

File Edit View Go Communicator

Bookmarks Location: <http://www.pdg.cnb.uam.es/eva/>

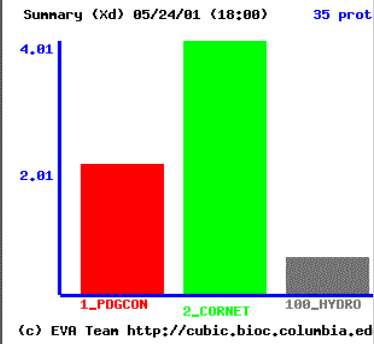
[EVA home](#) [EVA e-mail](#) [EVA mirrors](#) - [Threading](#) [Contacts](#)

EVA_con: Results in short

Pages automatically updated twice a week. Last Press [Reload] in your browser to get the actual results.

Averages are actually calculated using only the common proteins.

	#1 PDGCON	#2 CORNET
Average common (35 prots.)	2.075	



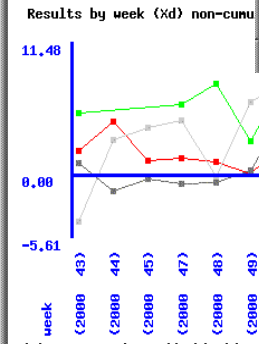
[EVA home](#) [EVA e-mail](#) [EVA mirrors](#) - [Threading](#) [Contacts](#)

Netscape: EVA_con. Results

File Edit View Go Com

Bookmarks Location

(2001 3)	26	4.9
(2001 4)	14	3.0
(2001 6)	3	2.2
(2001 7)	16	2.6
(2001 8)	8	
(2001 9)	7	
(2001 10)	18	0.3
(2001 11)	11	11.4
(2001 12)	11	1.5
(2001 13)	15	0.4
(2001 14)	5	3.6
(2001 15)	4	
(2001 16)	17	-1.0




[EVA home](#) [EVA e-mail](#) [EVA mirrors](#) - [Secondary structure](#) [Comparative modelling](#) [Threading](#) [Contacts](#)

Netscape: Eva-CM RANKING PAGE

File Edit View Go Communicator Help

Bookmarks Location: <http://pipe.rockefeller.edu/~eva/cm/> What's Related



[EVA home](#) [EVA e-mail](#) [EVA mirrors](#) - [Secondary structure](#) [Comparative modelling](#) [Contacts](#)

Statistical analysis of Eva-CM results.

The Student t distribution statistics are used to assess the statistical significance of ranking of protein structure modeling methods ([details](#)).

Analysis of Fold accuracy (% Equivalent Positions):

Ranking of the methods:

1. cphmodels
2. SwissModel
3. sdscl

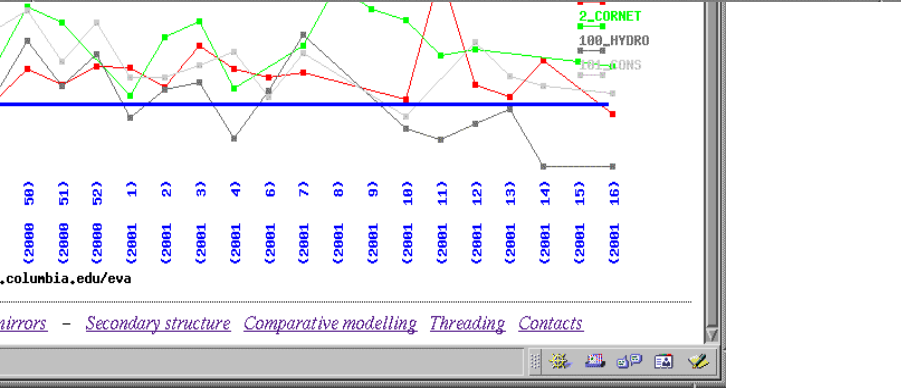
t-Student statistical analysis of the comparisons:

	cphmodels	SwissModel	sdscl
1. cphmodels		-2.03 ± 16.21 [295]	-1.36 ± 11.30 [314]
2. SwissModel	2.03 ± 16.21 [295]		-1.79 ± 16.91 [1671]
3. sdscl	1.36 ± 11.30 [314]	1.79 ± 16.91 [1671]	

Analysis of Alignment accuracy (% of correct aligned positions):

Ranking of the methods:

1. cphmodels
2. CORNET
3. HYDRO
4. DONS



4 weeks running EVA => mora targets than CASP1+2+3+4

Predicción de Estructura de Proteínas Futuro...?

- Combinación de métodos de predicción con datos estructurales a baja resolución
- Integración en los proyectos de *structural genomics*.
- Predicción de función

-
- Qu, Y., Guo, J.T., Olman, V. and Xu, Y. (2004) Protein structure prediction using sparse dipolar coupling data. *Nucleic Acids Res*, **32**, 551-561. Print 2004.
 - Arakaki, A.K., Zhang, Y. and Skolnick, J. (2004) Large-scale assessment of the utility of low-resolution protein structures for biochemical function assignment. *Bioinformatics*, **20**, 1087-1096.
 - Meiler, J. and Baker, D. (2003) Rapid protein fold determination using unassigned NMR data. *Proc Natl Acad Sci U S A*, **100**, 15404-15409.
 - Li, W., Zhang, Y., Kihara, D., Huang, Y.J., Zheng, D., Montelione, G.T., Kolinski, A. and Skolnick, J. (2003) TOUCHSTONEX: Protein structure prediction with sparse NMR data. *Proteins*, **53**, 290-306.
 - Zheng, W. and Doniach, S. (2002) Protein structure prediction constrained by solution x-ray scattering data and structural homology identification. *J Mol Biol*, **316**, 173-187.

http://pdg.cnb.uam.es/pazos/cursos/protstr_cnb